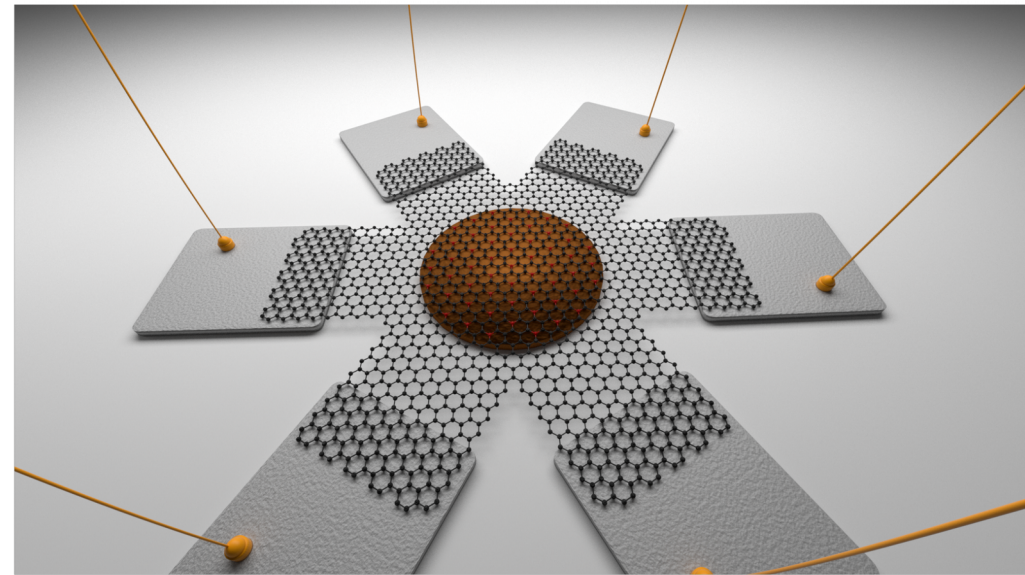
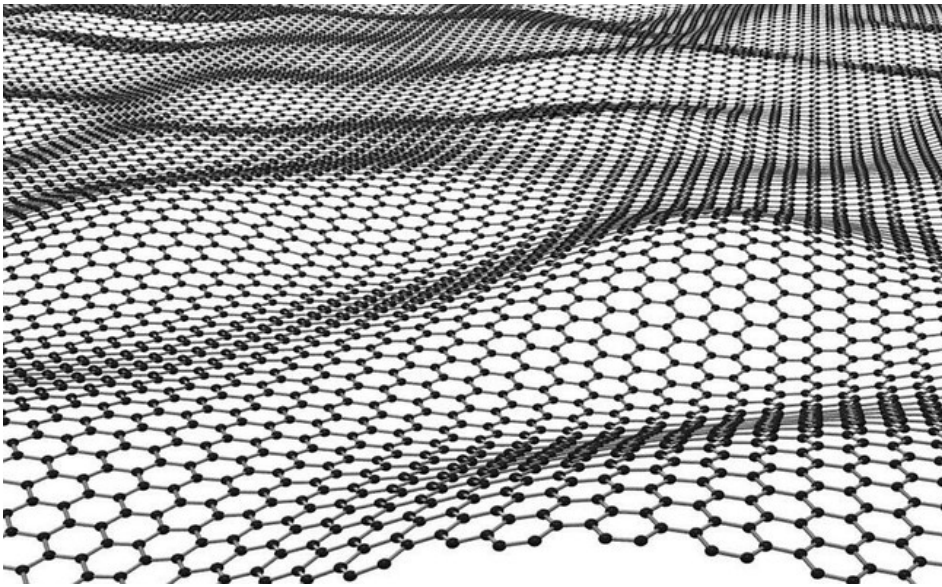


Transporte electrónico en sistemas bidimensionales

José Eduardo Barrios Vargas

j.e.barrios@gmail.com

Depto. Física y Química Teórica, FQ-UNAM

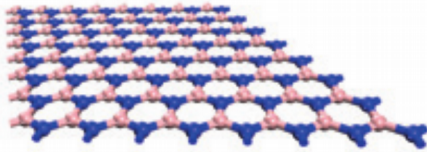


Objetivos

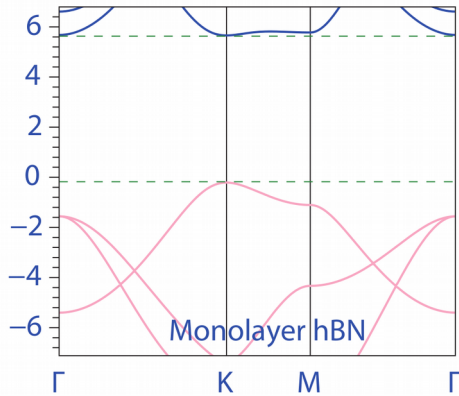
- Estructura de bandas
- DOS
- Funciones de Green (KPM)
- Conductividad
- Conductancia

Cristales en 2D

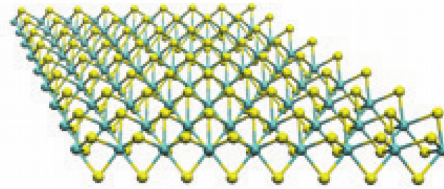
hBN
(insulator)



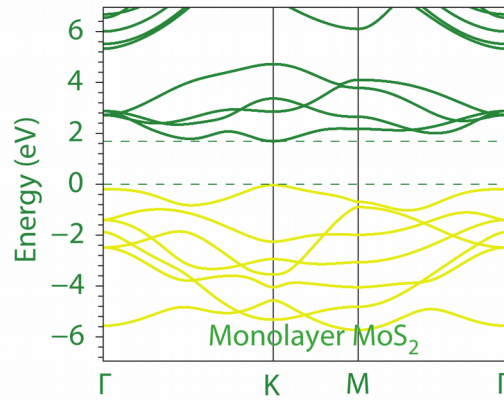
hBN: ~6 eV



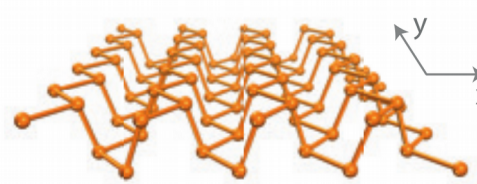
MoS₂
(semiconductor)



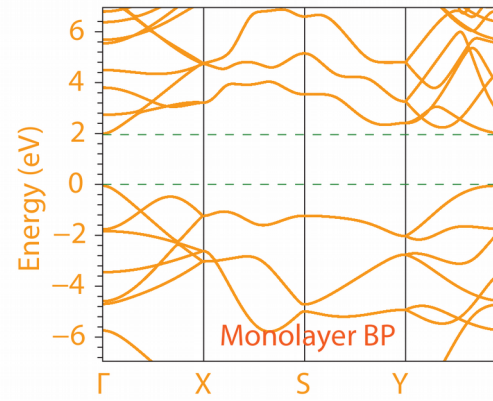
TMDC: ~1.0–2.5 eV



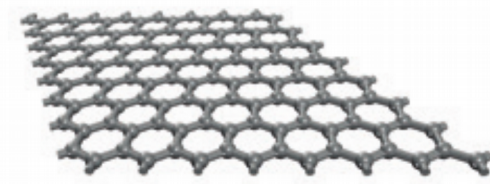
Black phosphorus
(semiconductor)



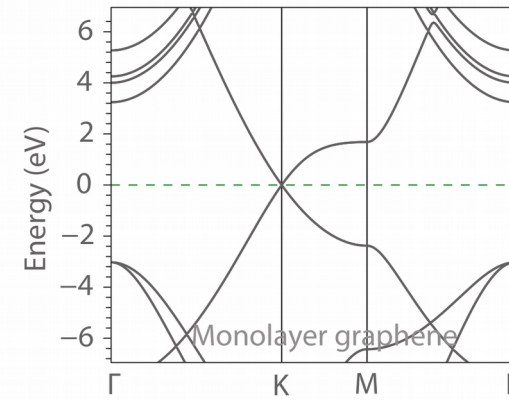
BP: 0.3–2 eV



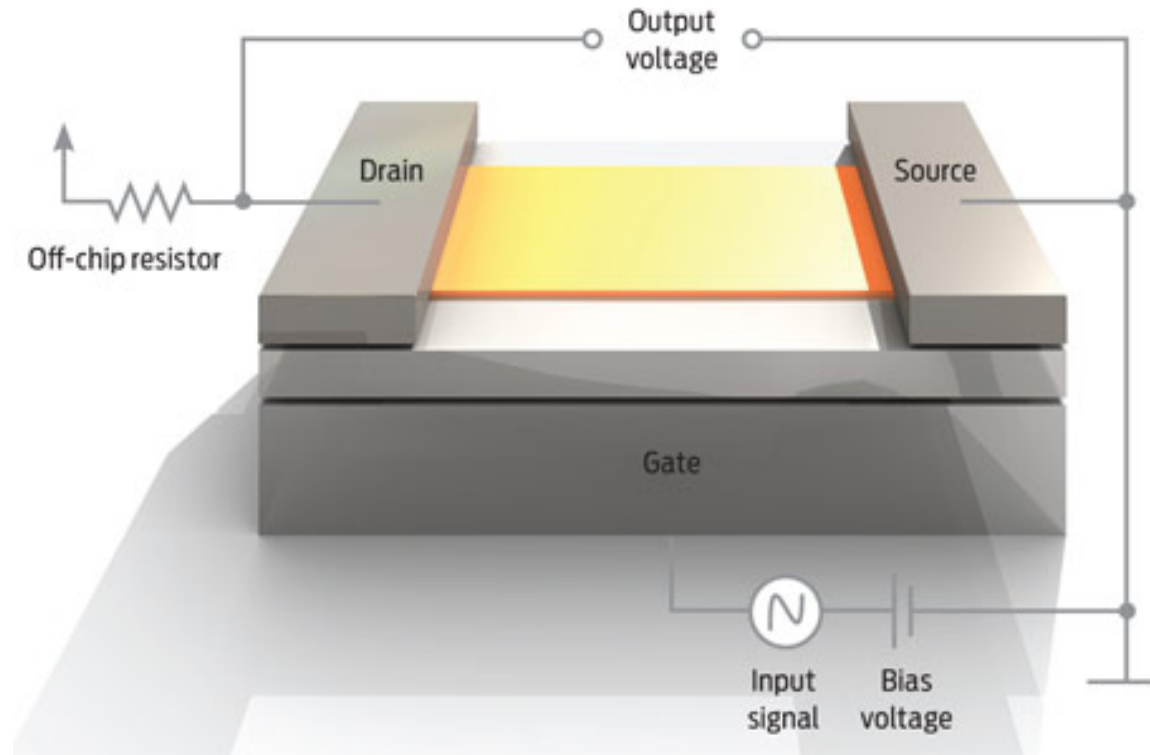
Graphene
(semimetal)



Graphene: zero-gap

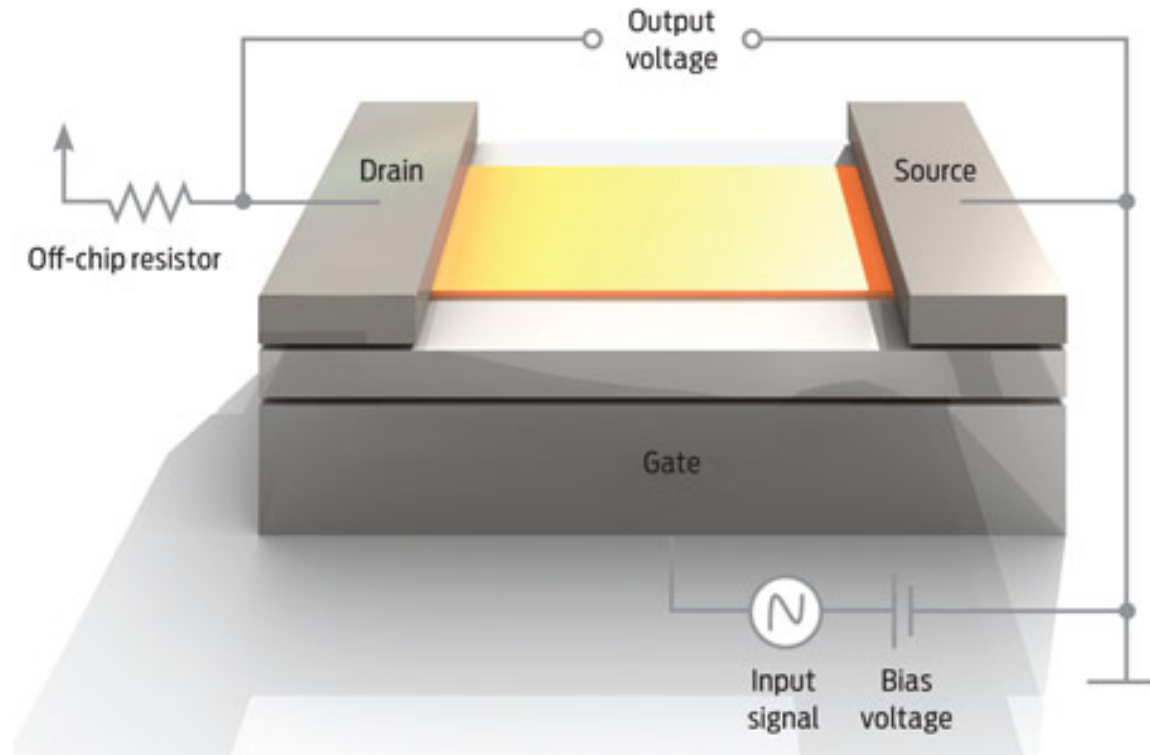


Transistor (FET – 2D)



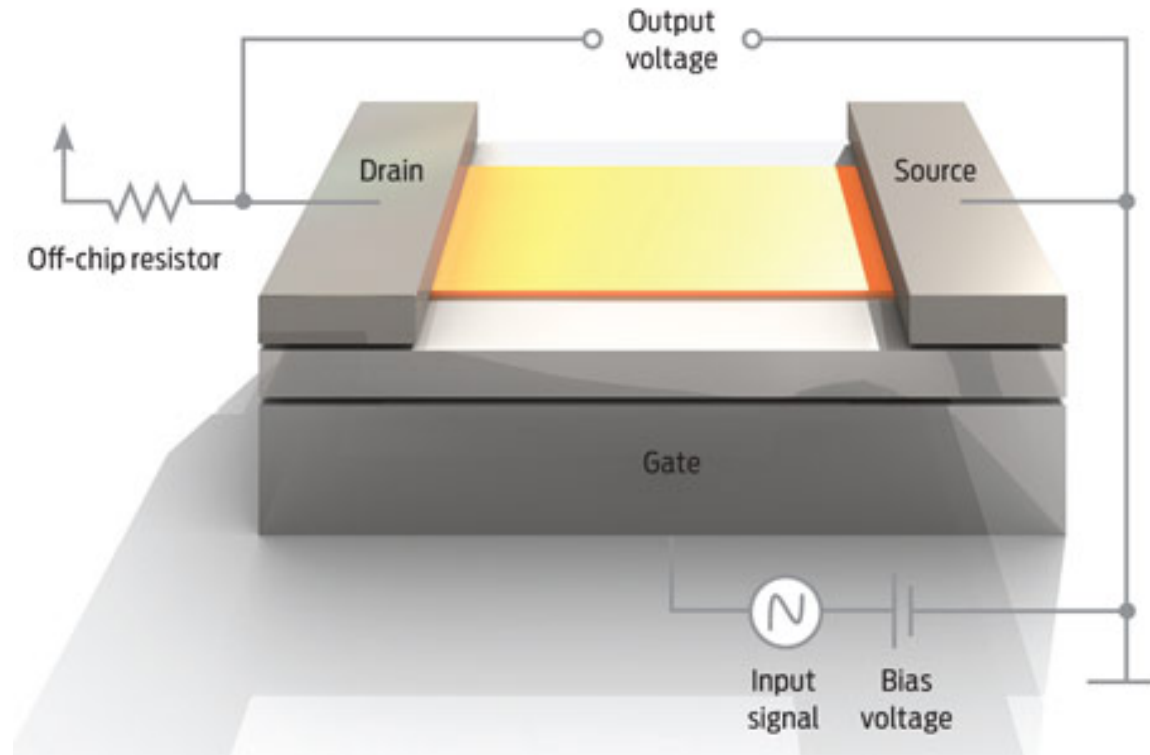
¿Por qué en 2D?

Transistor (FET – 2D)



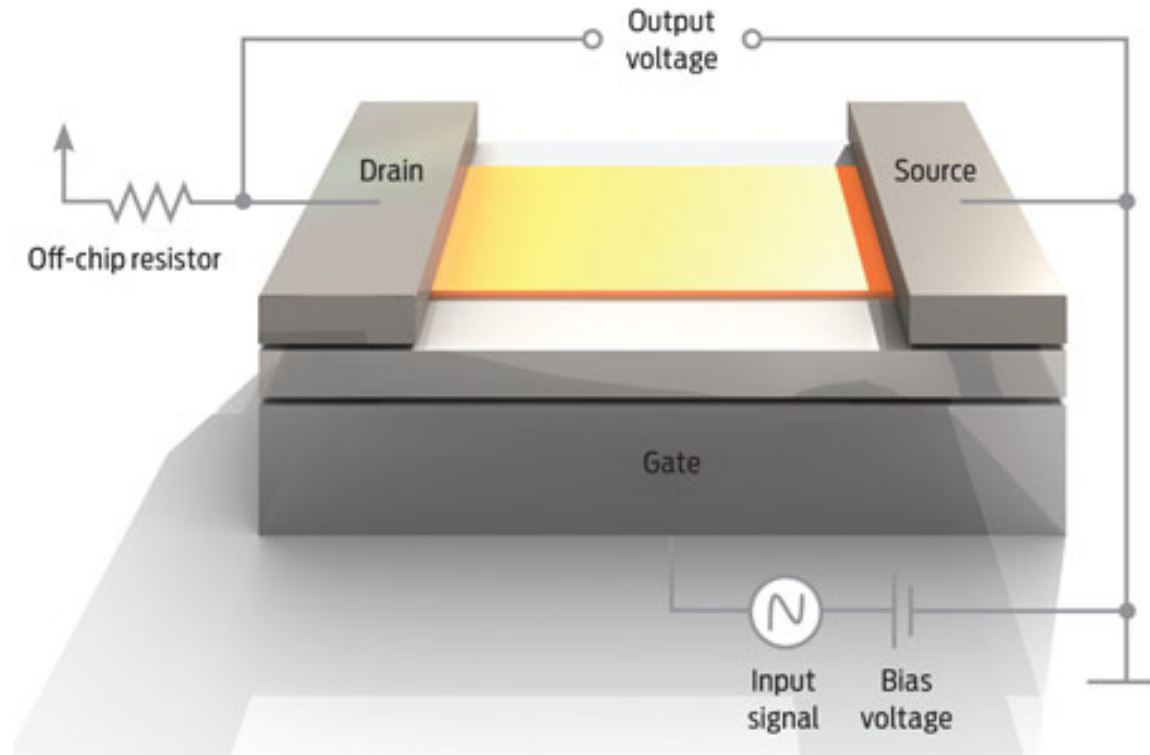
¿Por qué en 2D?
Tamaño y calentamiento

Transistor (FET – 2D)



Propiedades (de bulto) del canal

Transistor (FET – 2D)



- Movilidad

$$\mu$$

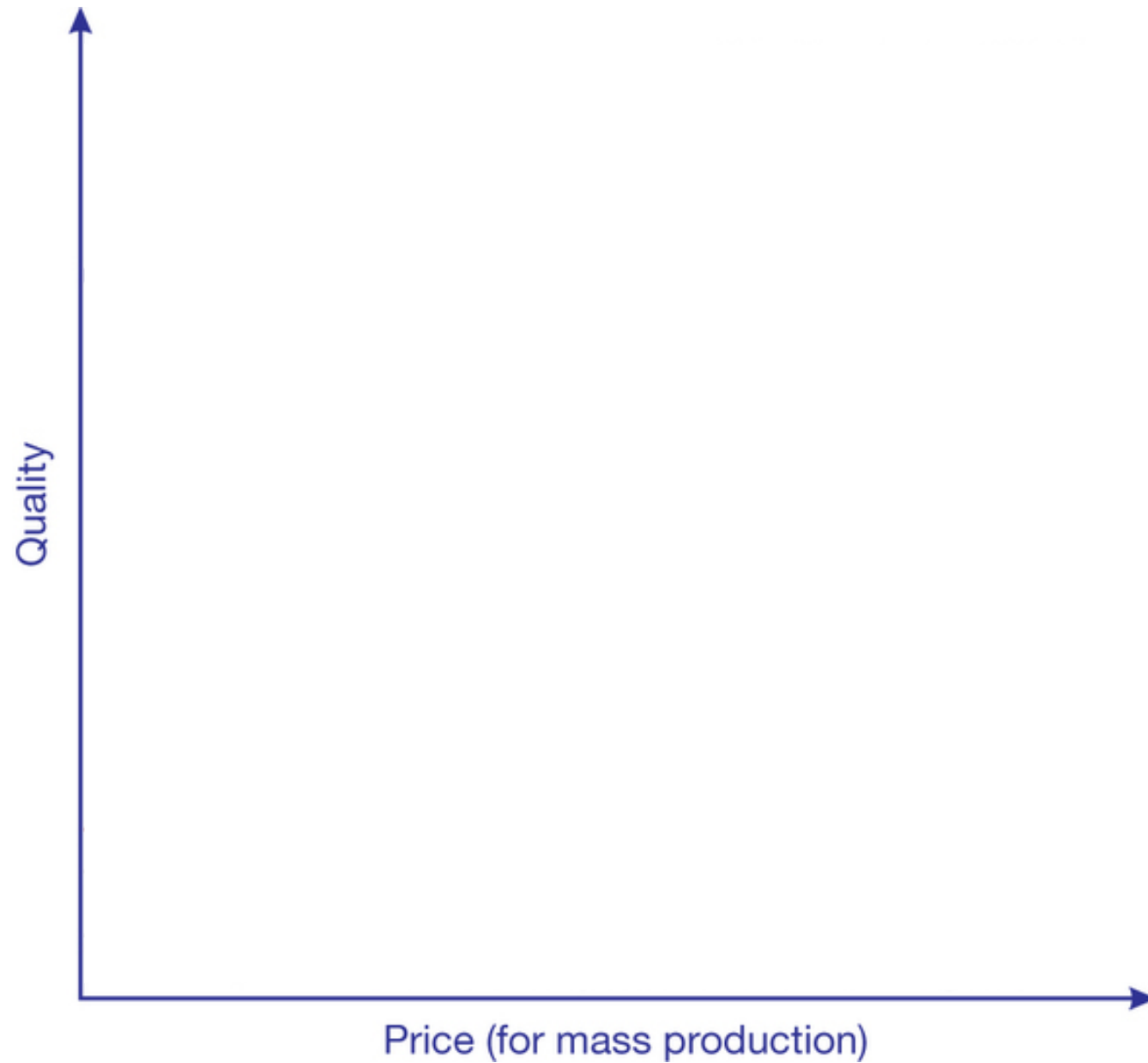
- Conductividad de la hoja

$$\sigma_S$$

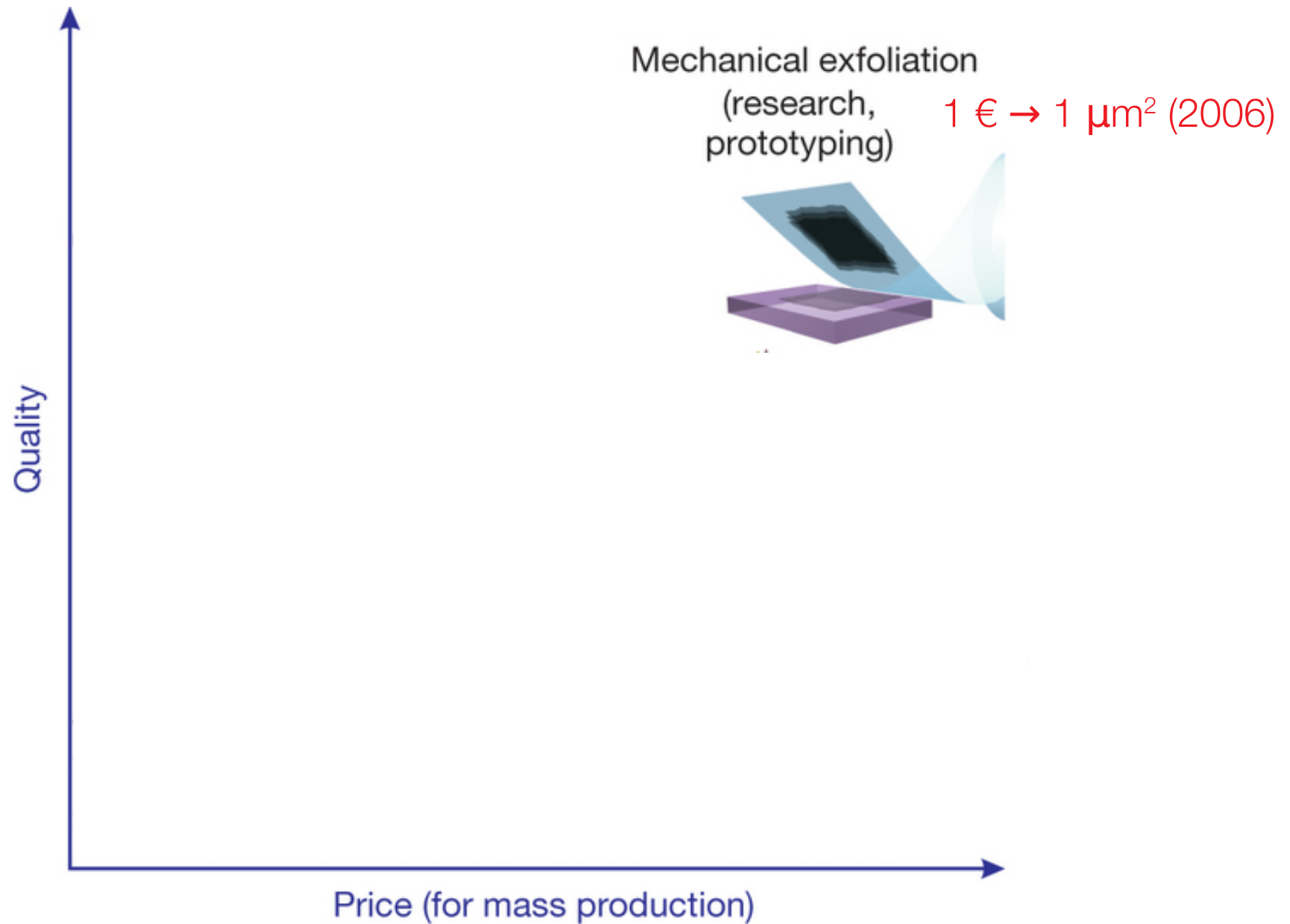
- Densidad de portadores de carga

$$n$$

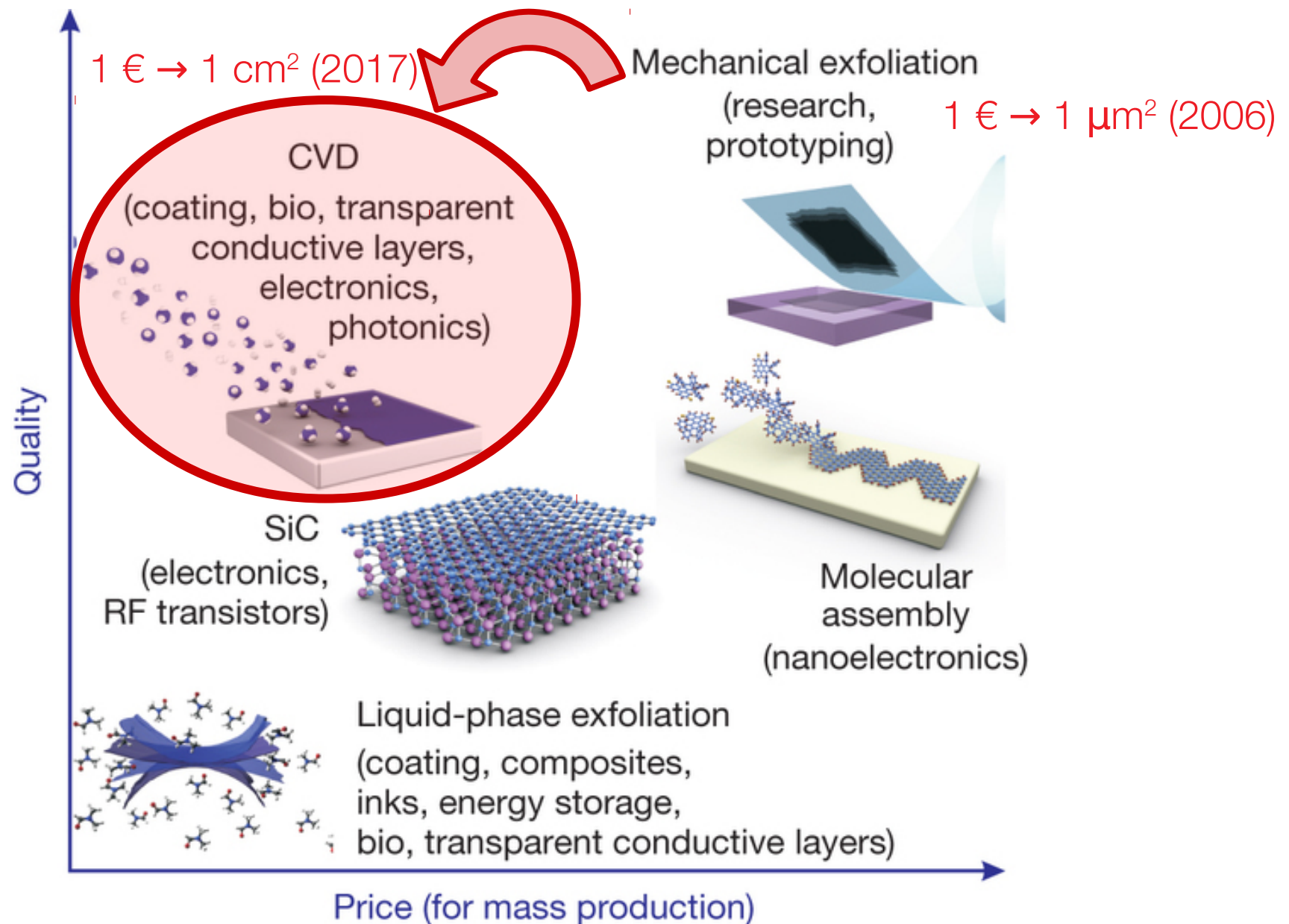
Síntesis (grafeno)



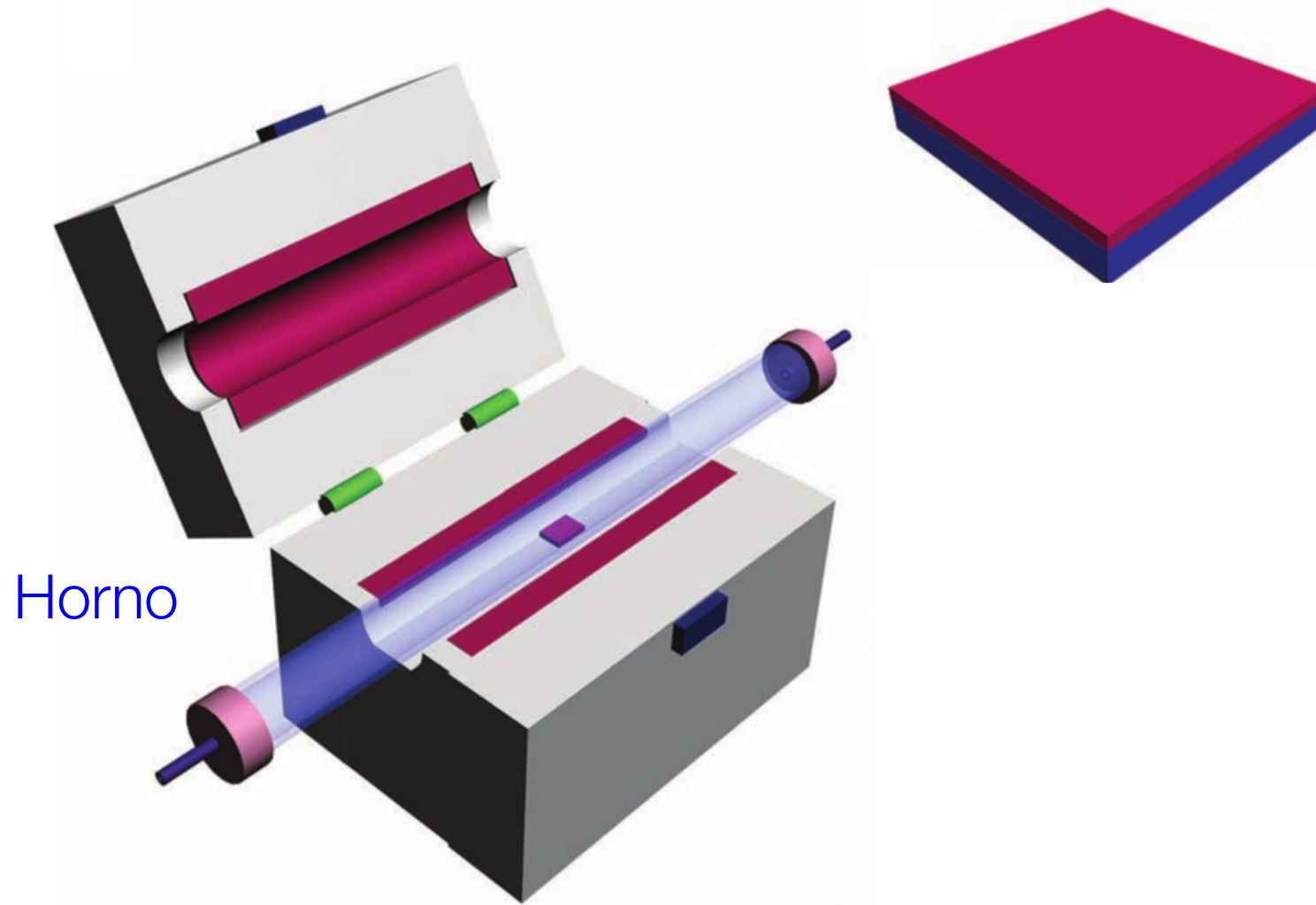
Síntesis (grafeno)



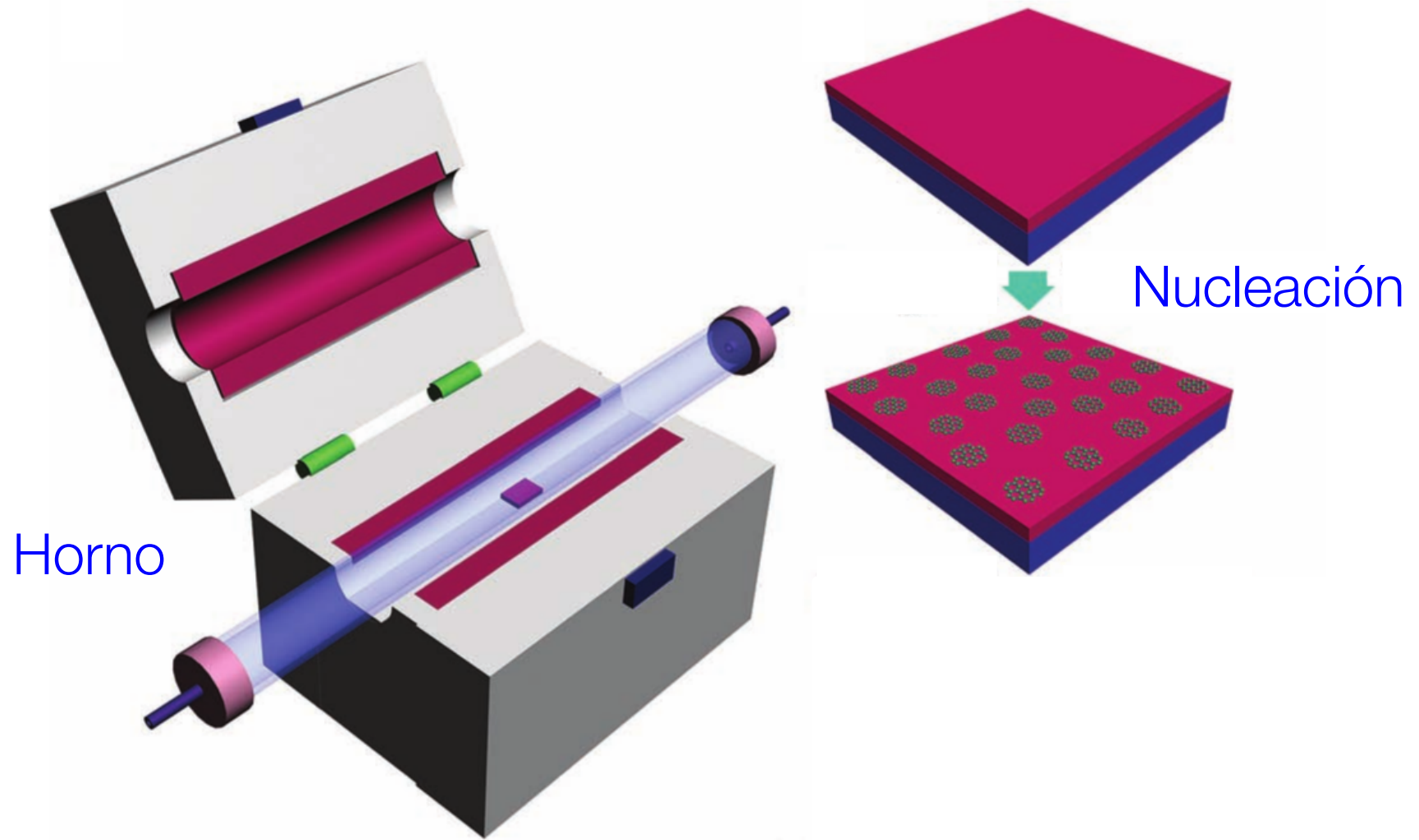
Síntesis (grafeno)



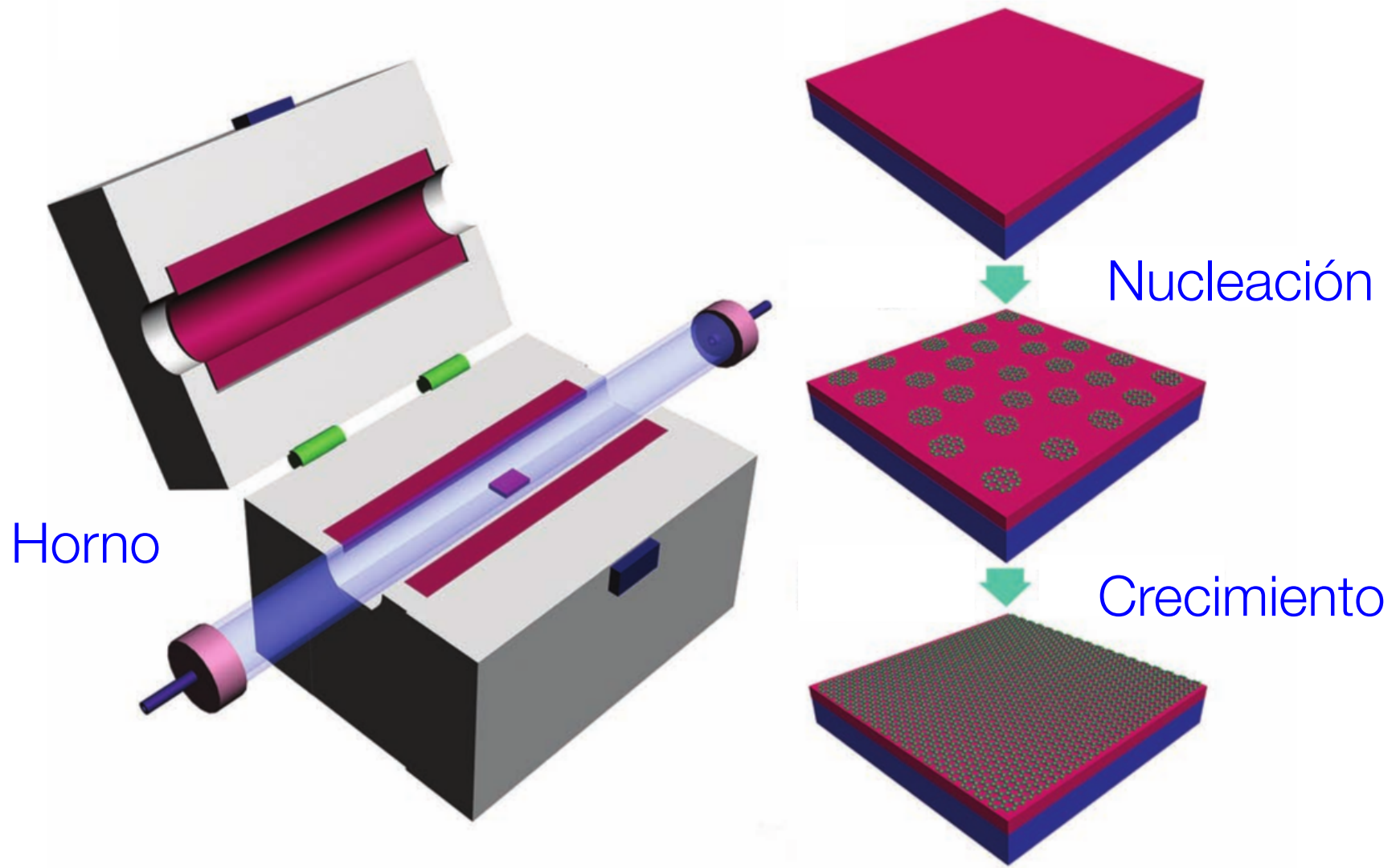
CVD (deposición química de vapor)



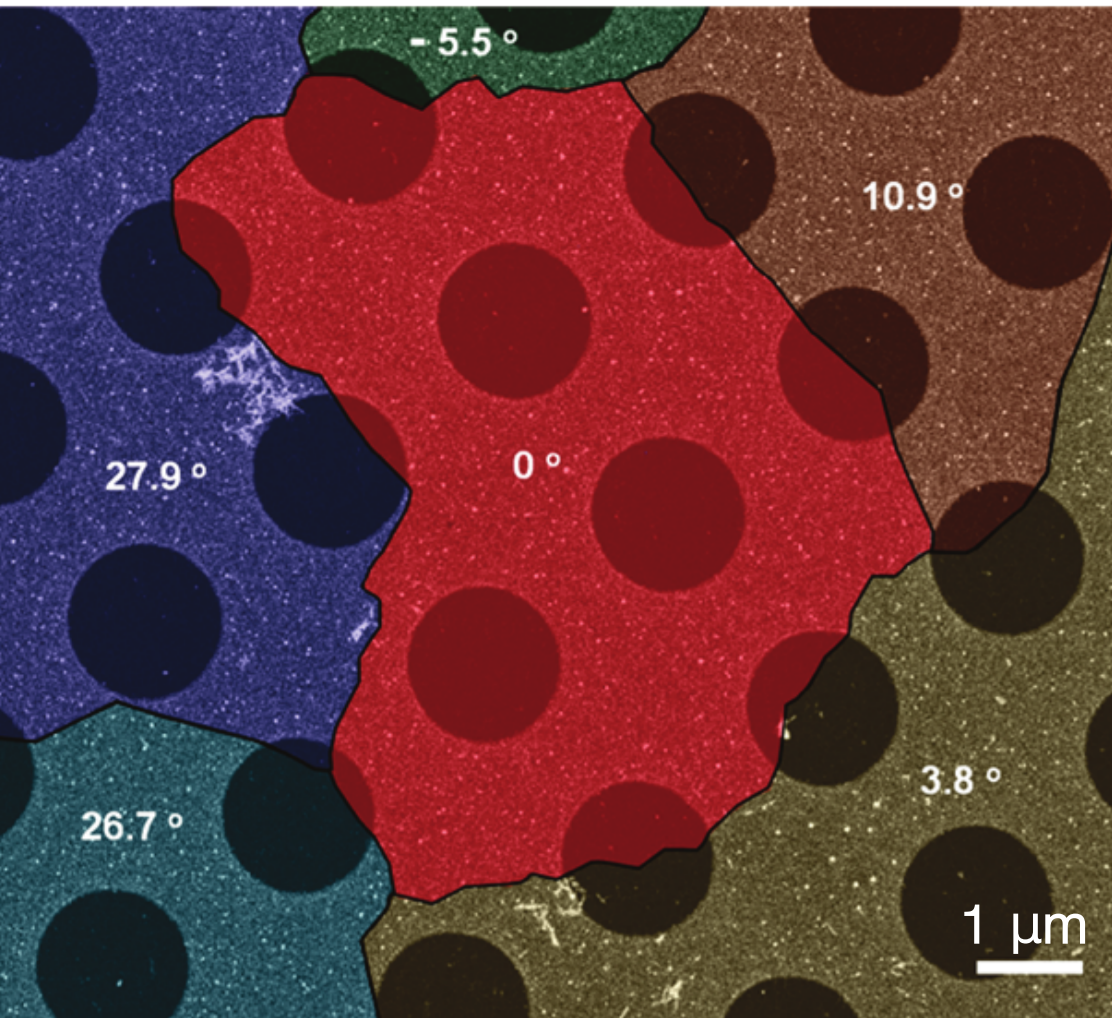
CVD (deposición química de vapor)



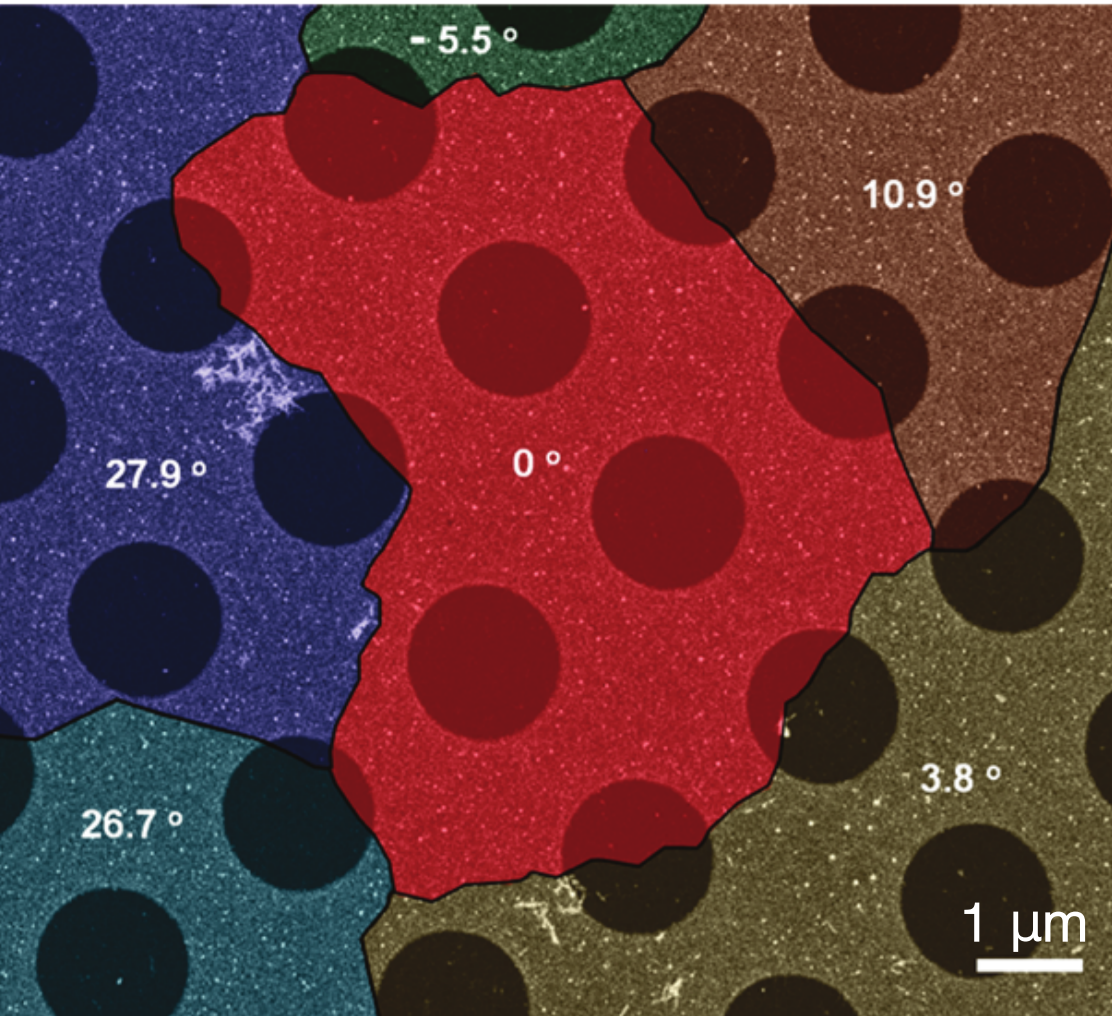
CVD (deposición química de vapor)



Grafeno CVD – policristalino

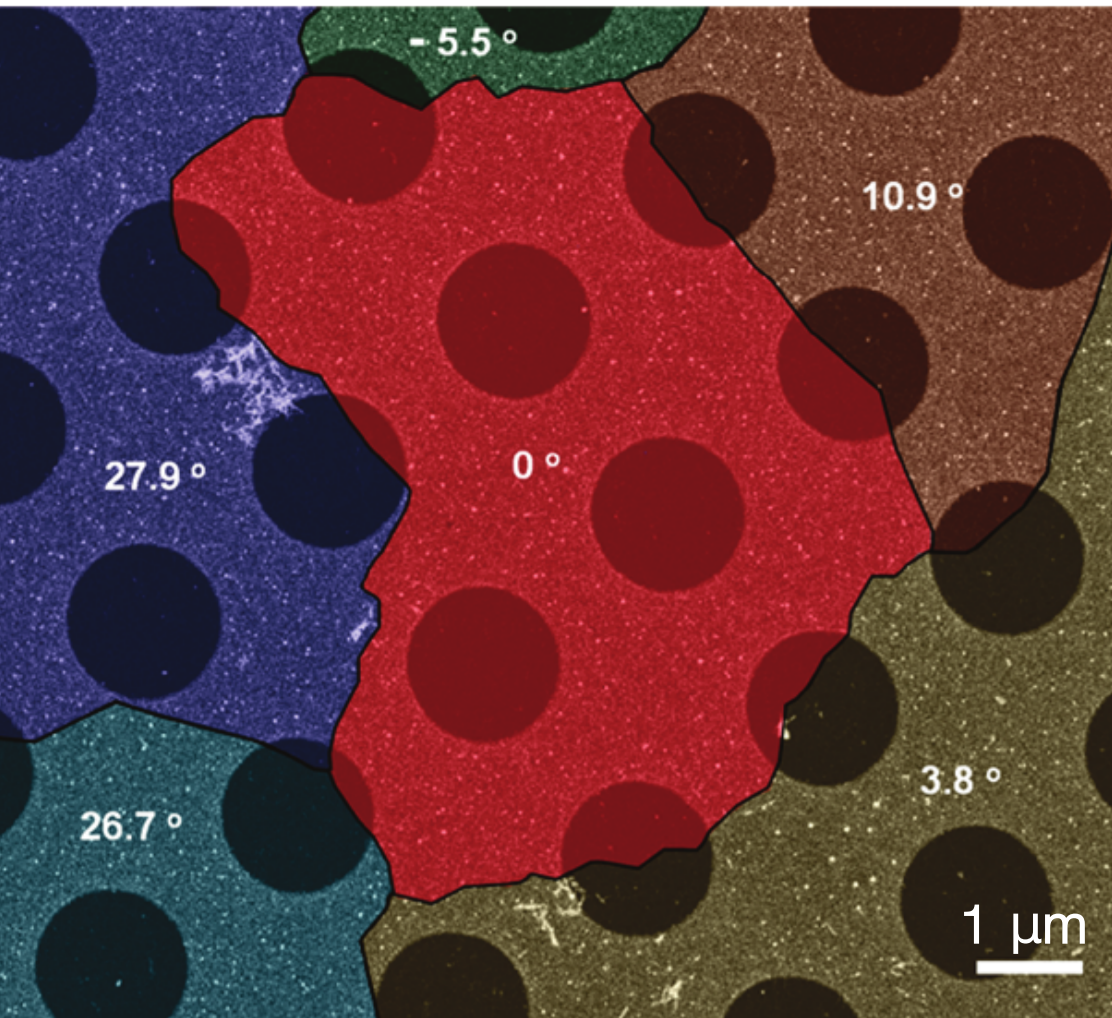


Grafeno CVD – policristalino



$1 \mu\text{m}^2 \rightarrow 40$ millones de átomos

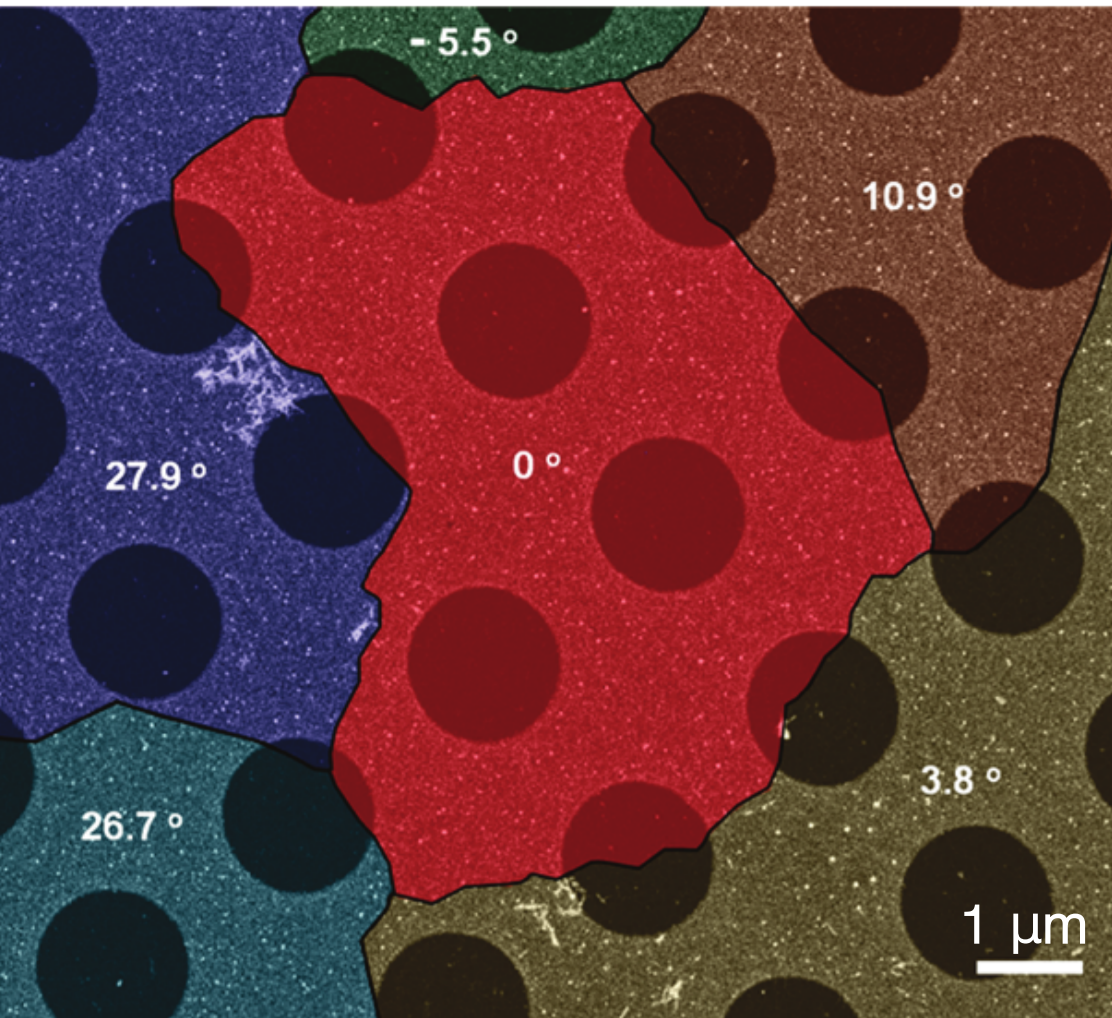
Grafeno CVD – policristalino



1 $\mu\text{m}^2 \rightarrow$ 40 millones de átomos

(1) Red policristalina

Grafeno CVD – policristalino

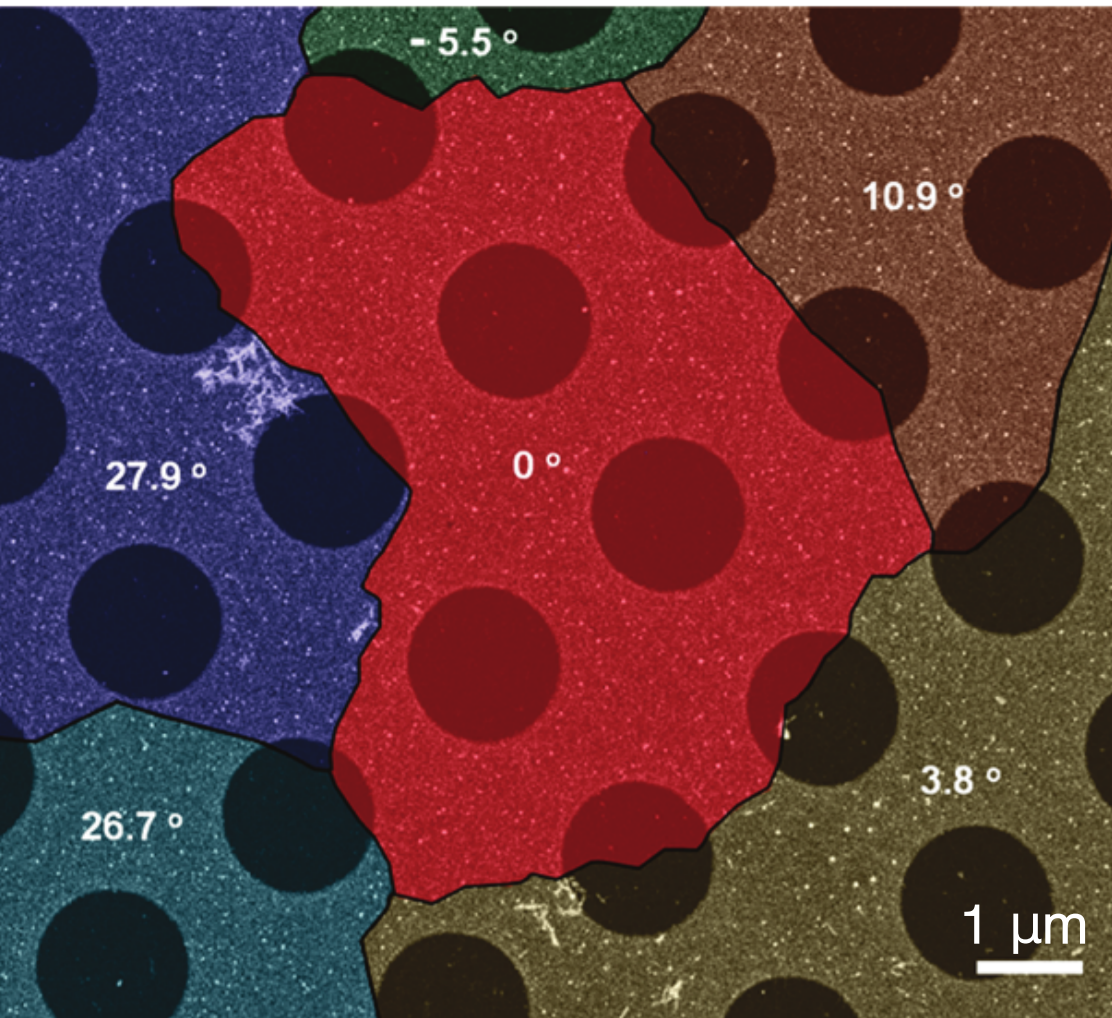


1 $\mu\text{m}^2 \rightarrow$ 40 millones de átomos

(1) Red policristalina

(2) Hamiltoniano semiempírico

Grafeno CVD – policristalino



1 $\mu\text{m}^2 \rightarrow$ 40 millones de átomos

(1) Red policristalina

(2) Hamiltoniano semiempírico

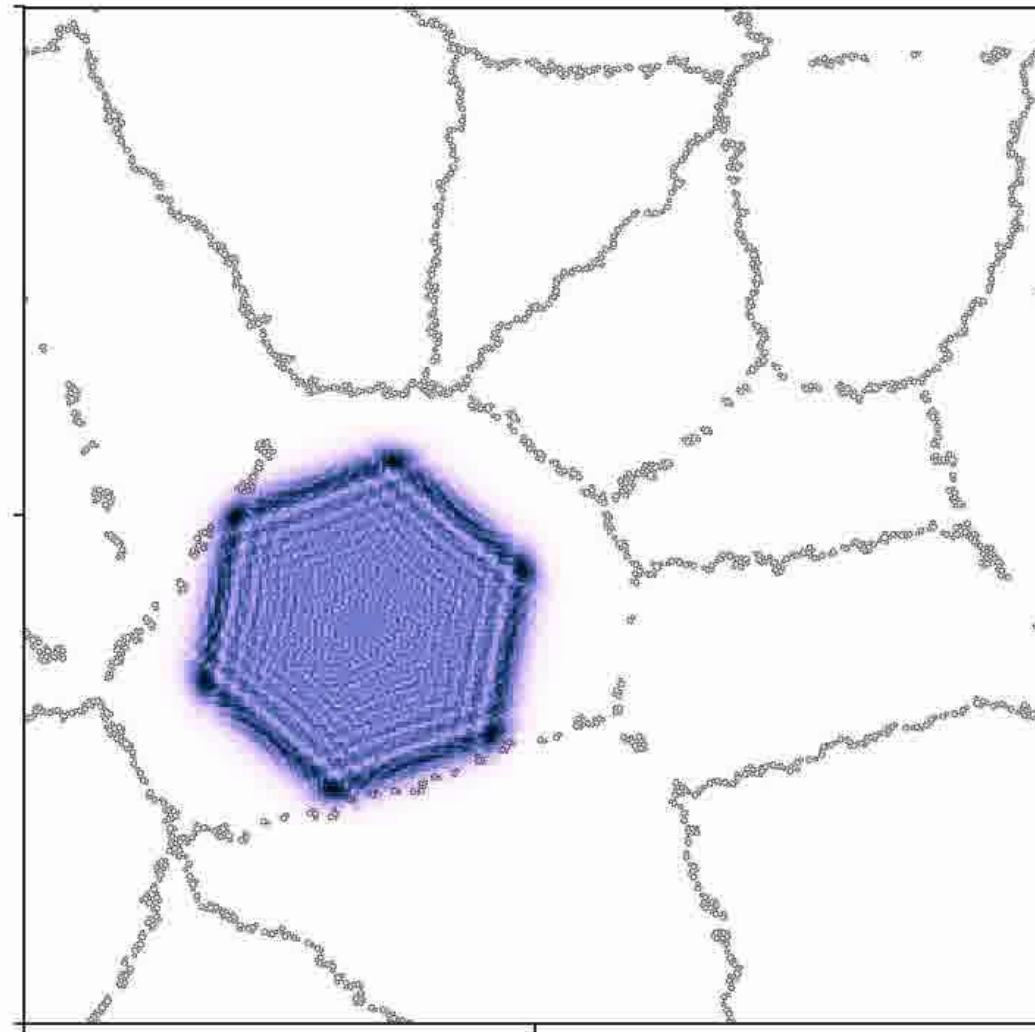
(3) Modelo de respuesta lineal

[Fórmula de Kubo-Greenwood]

Dinámica del paquete de onda

[Video]

Dinámica del paquete de onda



Curso

Hamiltoniano (approx.)

'Toy model'



The shard

Grafeno (Hamiltoniano de amarre fuerte)



Grafeno (Hamiltoniano de amarre fuerte)



OBJETIVO (approx.):

- Modelar electrones en un cristal para calcular al estructura de bandas electrónicas.

Grafeno (Hamiltoniano de amarre fuerte)



OBJETIVO (approx.):

- Modelar electrones en un cristal para calcular al estructura de bandas electrónicas.

Es un método semiempírico

LCAO- Combinación lineal de orbitales atómicos
(Método de Hückel)

Grafeno (Hamiltoniano de amarre fuerte)



OBJETIVO (approx.):

- Modelar electrones en un cristal para calcular la estructura de bandas electrónicas.

Es un método semiempírico

LCAO- Combinación lineal de orbitales atómicos
(Método de Hückel)

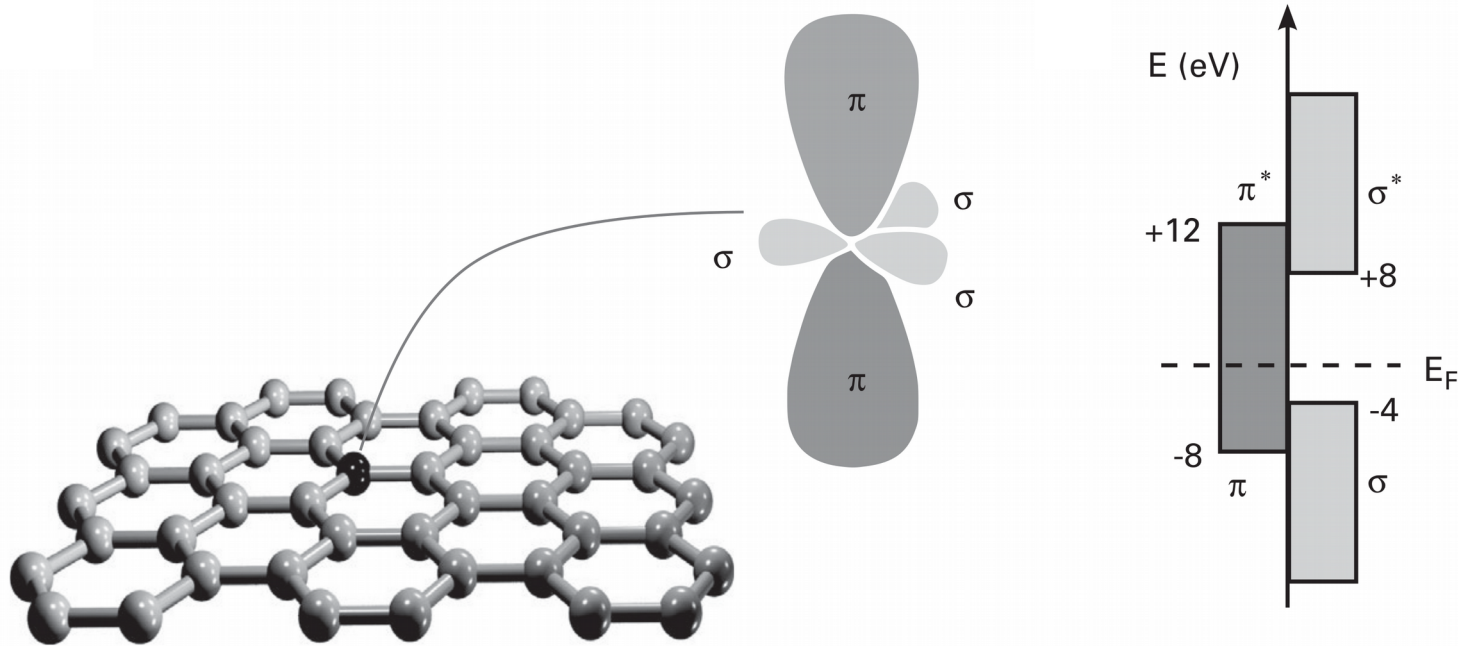
Ventajas:

- Permite realizar cálculos de manera veloz en sistemas *MUY GRANDES*

Desventajas:

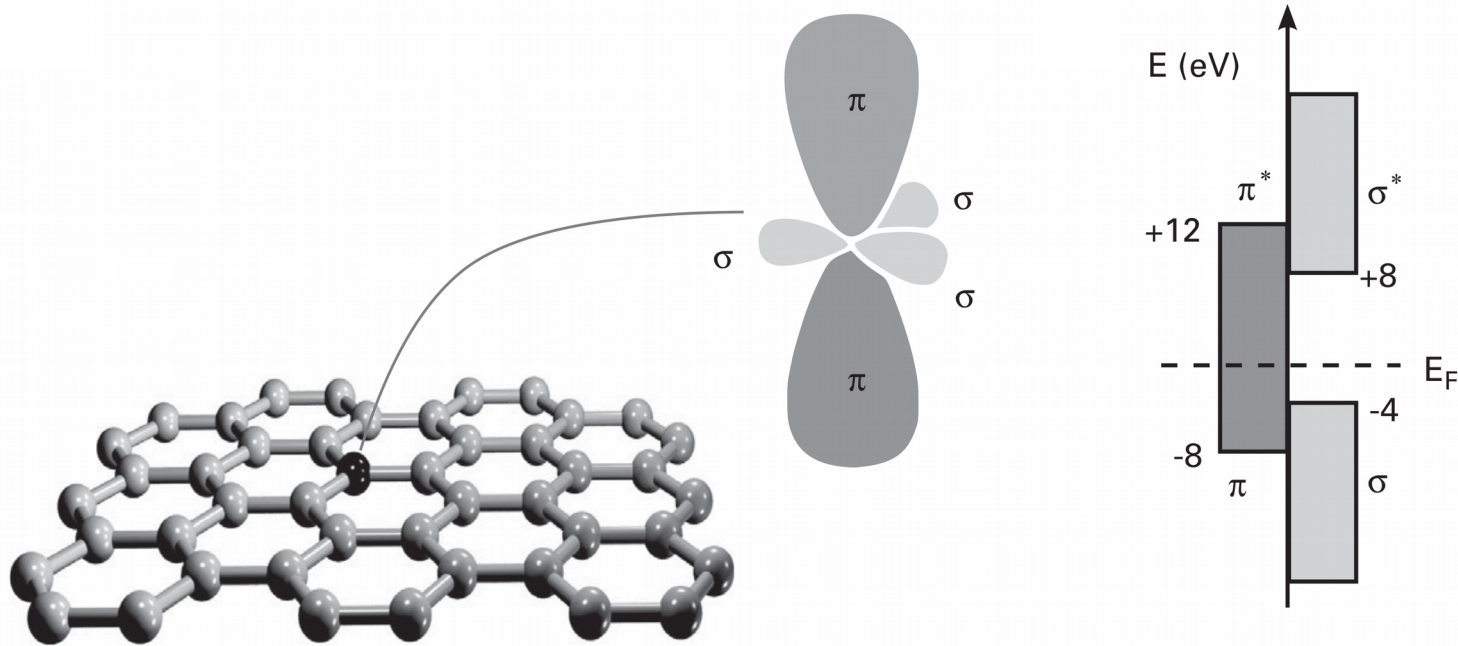
- *IGNORA LA INTERACCION e-e*

Grafeno (Hamiltoniano de amarre fuerte)



$$\mathcal{H} = -t \sum_{\langle i,j \rangle} |i\rangle \langle j| + \text{h.c.}$$

Grafeno (Hamiltoniano de amarre fuerte)



$$\mathcal{H} = -t \sum_{\langle i,j \rangle} |i\rangle \langle j| + \text{h.c.}$$

Idea básica: Conectividad (lattice) \rightarrow Hamiltoniano

Grafeno (Hamiltoniano de amarre fuerte)



En cada célda unitaria:

$$\psi_{uc}(\mathbf{r}) = a p_z(\mathbf{r} - \mathbf{r}_A) + b p_z(\mathbf{r} - \mathbf{r}_B)$$

Teorema de Bloch las eigenfunciones evaluadas en dos puntos de la red de Bravais \mathbf{R}_i and \mathbf{R}_j difieren sólo por un factor $\exp(i\mathbf{k} \cdot (\mathbf{R}_i - \mathbf{R}_j))$

$$\Psi(\mathbf{k}, \mathbf{r}) = c_A(\mathbf{k})\tilde{p}_z^A(\mathbf{k}, \mathbf{r}) + c_B(\mathbf{k})\tilde{p}_z^B(\mathbf{k}, \mathbf{r}),$$

$$\tilde{p}_z^A(\mathbf{k}, \mathbf{r}) = \frac{1}{\sqrt{N_{\text{cells}}}} \sum_j e^{i\mathbf{k} \cdot \mathbf{R}_j} p_z(\mathbf{r} - \mathbf{r}_A - \mathbf{R}_j),$$

$$\tilde{p}_z^B(\mathbf{k}, \mathbf{r}) = \frac{1}{\sqrt{N_{\text{cells}}}} \sum_j e^{i\mathbf{k} \cdot \mathbf{R}_j} p_z(\mathbf{r} - \mathbf{r}_B - \mathbf{R}_j),$$

Despreciamos el overlap

$$s = \langle p_z^A | p_z^B \rangle$$

Entonces la condición de ortogonalidad es: $\langle \tilde{p}_z^\alpha(\mathbf{k}) | \tilde{p}_z^\beta(\mathbf{k}') \rangle = \delta_{\mathbf{k}, \mathbf{k}'} \delta_{\alpha, \beta}$,

Grafeno (Hamiltoniano de amarre fuerte)



Usando la ortogonalidad previa en la ecuación de Schroedinger

$$\begin{pmatrix} \mathcal{H}_{AA}(\mathbf{k}) & \mathcal{H}_{AB}(\mathbf{k}) \\ \mathcal{H}_{BA}(\mathbf{k}) & \mathcal{H}_{BB}(\mathbf{k}) \end{pmatrix} \begin{pmatrix} c_A(\mathbf{k}) \\ c_B(\mathbf{k}) \end{pmatrix} = E(\mathbf{k}) \begin{pmatrix} c_A(\mathbf{k}) \\ c_B(\mathbf{k}) \end{pmatrix}$$

$$\mathcal{H}_{AA}(\mathbf{k}) = \frac{1}{N_{\text{cells}}} \sum_{i,j} e^{i\mathbf{k} \cdot (\mathbf{R}_j - \mathbf{R}_i)} \langle p_z^{A, \mathbf{R}_i} | \mathcal{H} | p_z^{A, \mathbf{R}_j} \rangle, \quad \text{Referencia de energía}$$

$$\mathcal{H}_{AB}(\mathbf{k}) = \frac{1}{N_{\text{cells}}} \sum_{i,j} e^{i\mathbf{k} \cdot (\mathbf{R}_j - \mathbf{R}_i)} \langle p_z^{A, \mathbf{R}_i} | \mathcal{H} | p_z^{B, \mathbf{R}_j} \rangle,$$

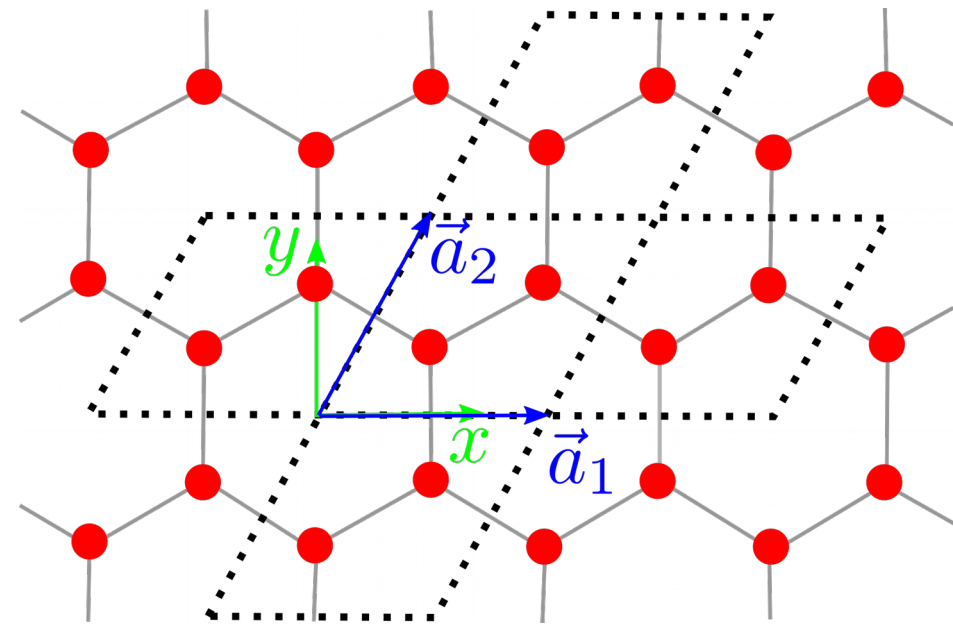
$$\mathcal{H}_{AB}(\mathbf{k}) = \langle p_z^{A,0} | \mathcal{H} | p_z^{B,0} \rangle + e^{-i\mathbf{k} \cdot \mathbf{a}_1} \langle p_z^{A,0} | \mathcal{H} | p_z^{B,-\mathbf{a}_1} \rangle + e^{-i\mathbf{k} \cdot \mathbf{a}_2} \langle p_z^{A,0} | \mathcal{H} | p_z^{B,-\mathbf{a}_2} \rangle$$

$$= -\gamma_0 \alpha(\mathbf{k}),$$

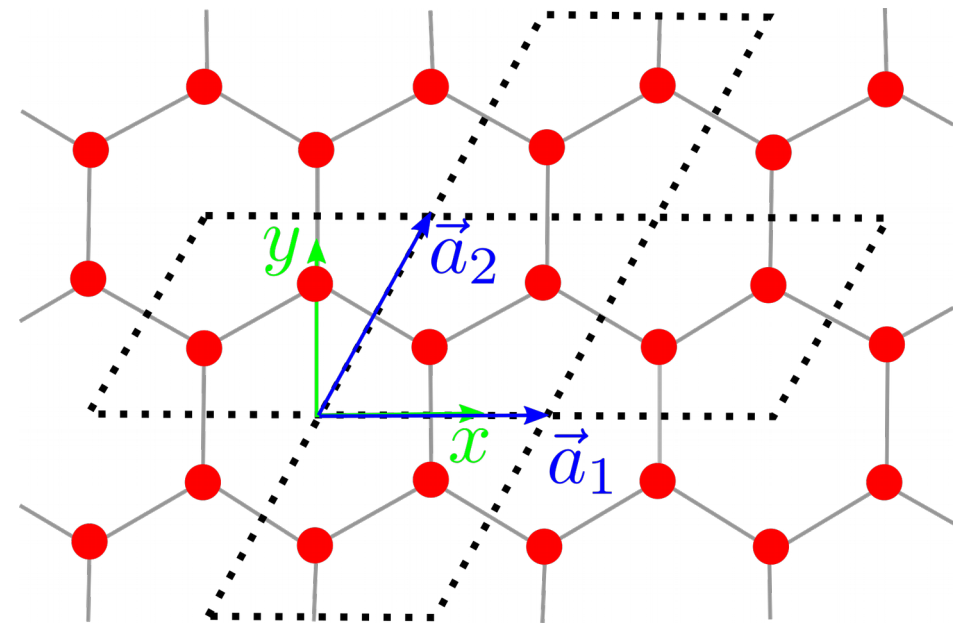
$$\alpha(\mathbf{k}) = (1 + e^{-i\mathbf{k} \cdot \mathbf{a}_1} + e^{-i\mathbf{k} \cdot \mathbf{a}_2}).$$

$$\mathcal{H}(\mathbf{k}) = \begin{pmatrix} 0 & -\gamma_0 \alpha(\mathbf{k}) \\ -\gamma_0 \alpha(\mathbf{k})^* & 0 \end{pmatrix}$$

Celda unitaria \rightarrow 1 zona de Brillouin

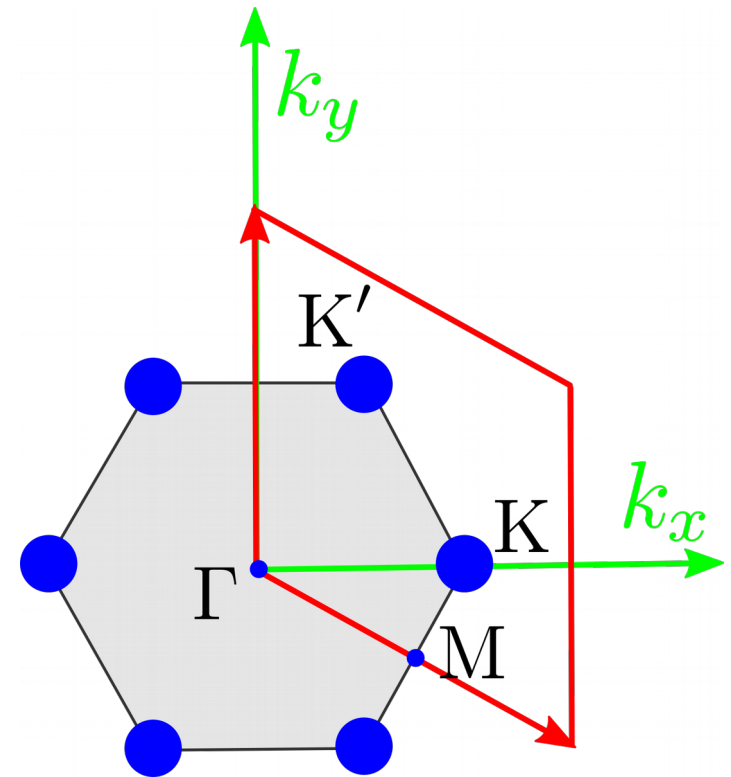
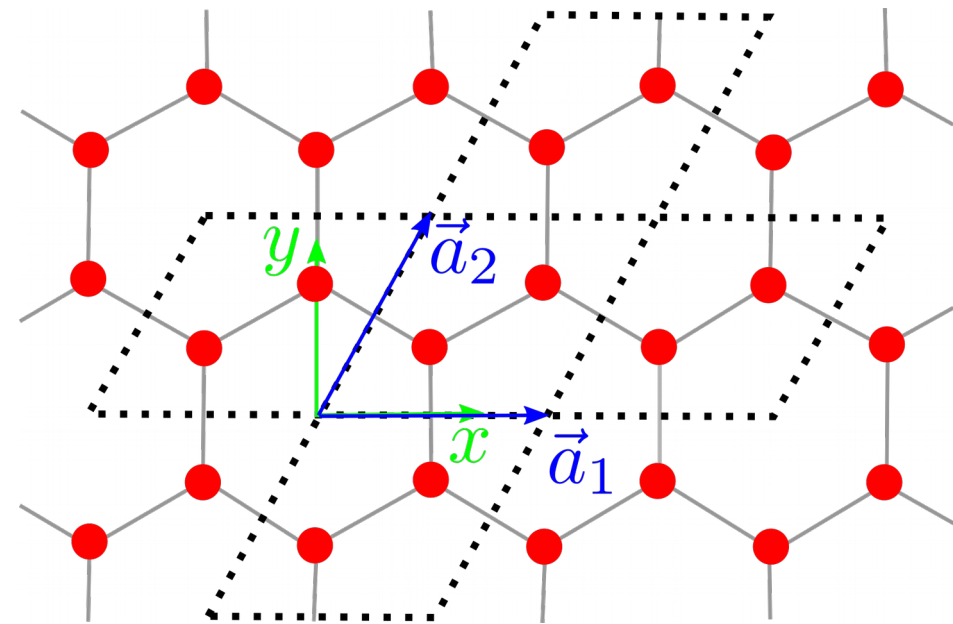


Celda unitaria \rightarrow 1 zona de Brillouin



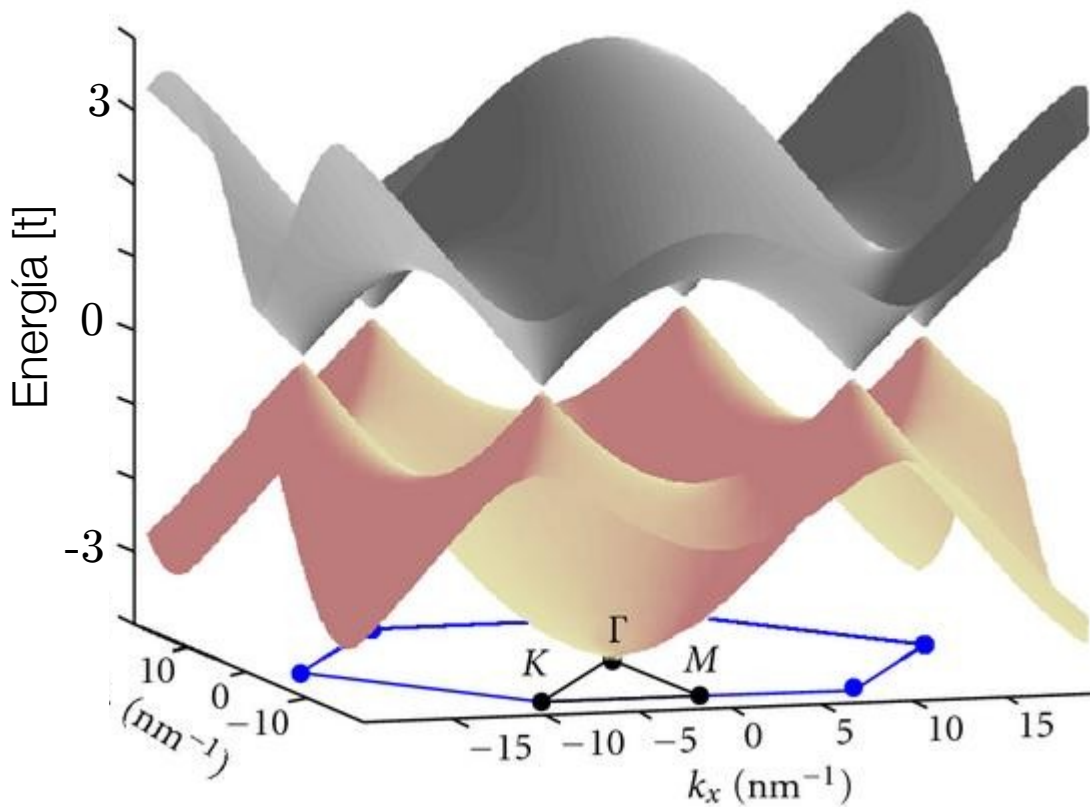
$$\begin{bmatrix} a_{1x} & a_{2x} \\ a_{1y} & a_{2y} \end{bmatrix} \begin{bmatrix} b_{1x} & b_{2x} \\ b_{1y} & b_{2y} \end{bmatrix} = \begin{bmatrix} 2\pi & 0 \\ 0 & 2\pi \end{bmatrix}$$

Celda unitaria \rightarrow 1 zona de Brillouin

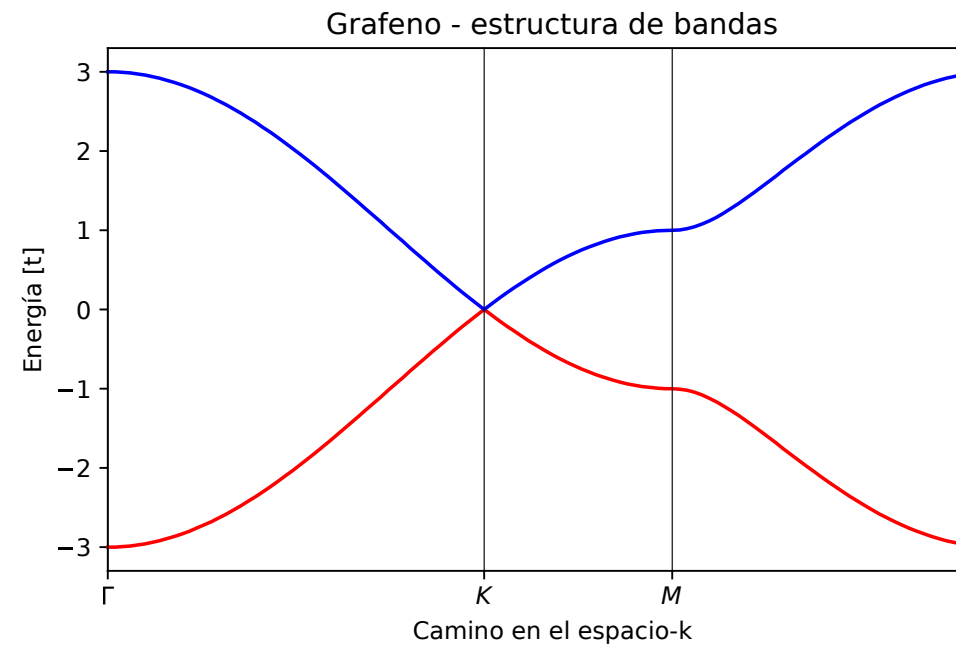
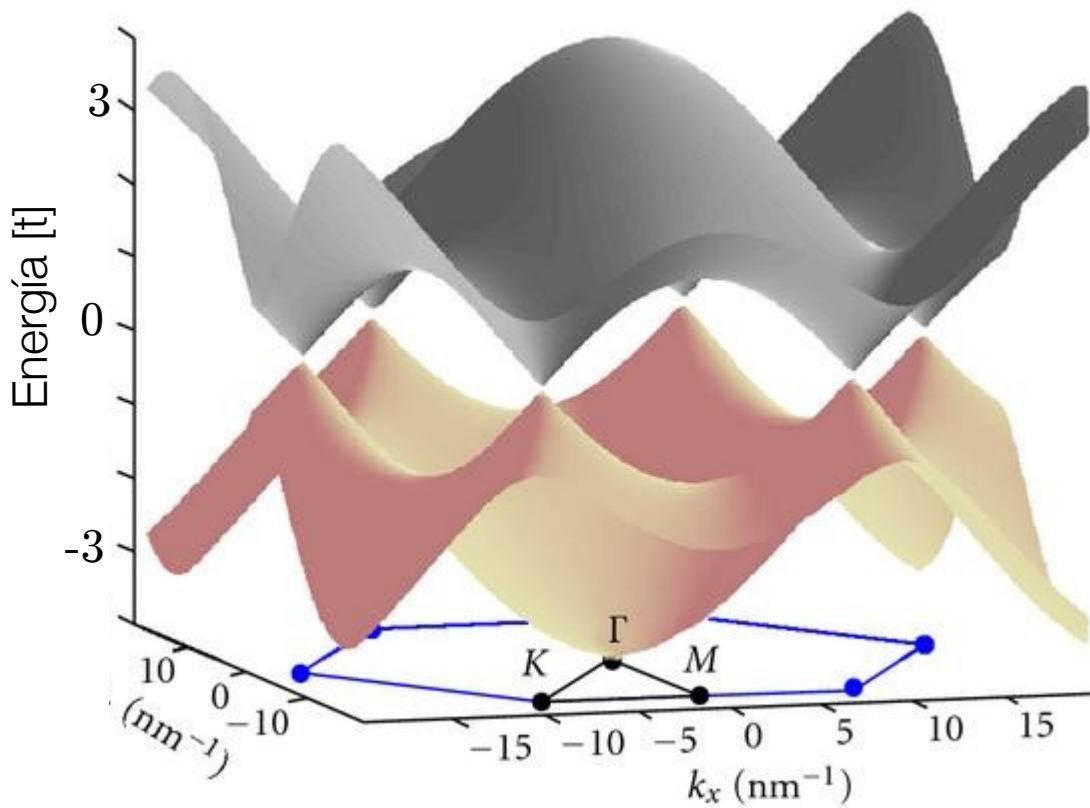


$$\begin{bmatrix} a_{1x} & a_{2x} \\ a_{1y} & a_{2y} \end{bmatrix} \begin{bmatrix} b_{1x} & b_{2x} \\ b_{1y} & b_{2y} \end{bmatrix} = \begin{bmatrix} 2\pi & 0 \\ 0 & 2\pi \end{bmatrix}$$

$$H(\vec{k}) = \begin{bmatrix} 0 & -t(1 + e^{-i\vec{k}\cdot\vec{a}_1} + e^{-i\vec{k}\cdot\vec{a}_2}) \\ -t(1 + e^{i\vec{k}\cdot\vec{a}_1} + e^{i\vec{k}\cdot\vec{a}_2}) & 0 \end{bmatrix}$$

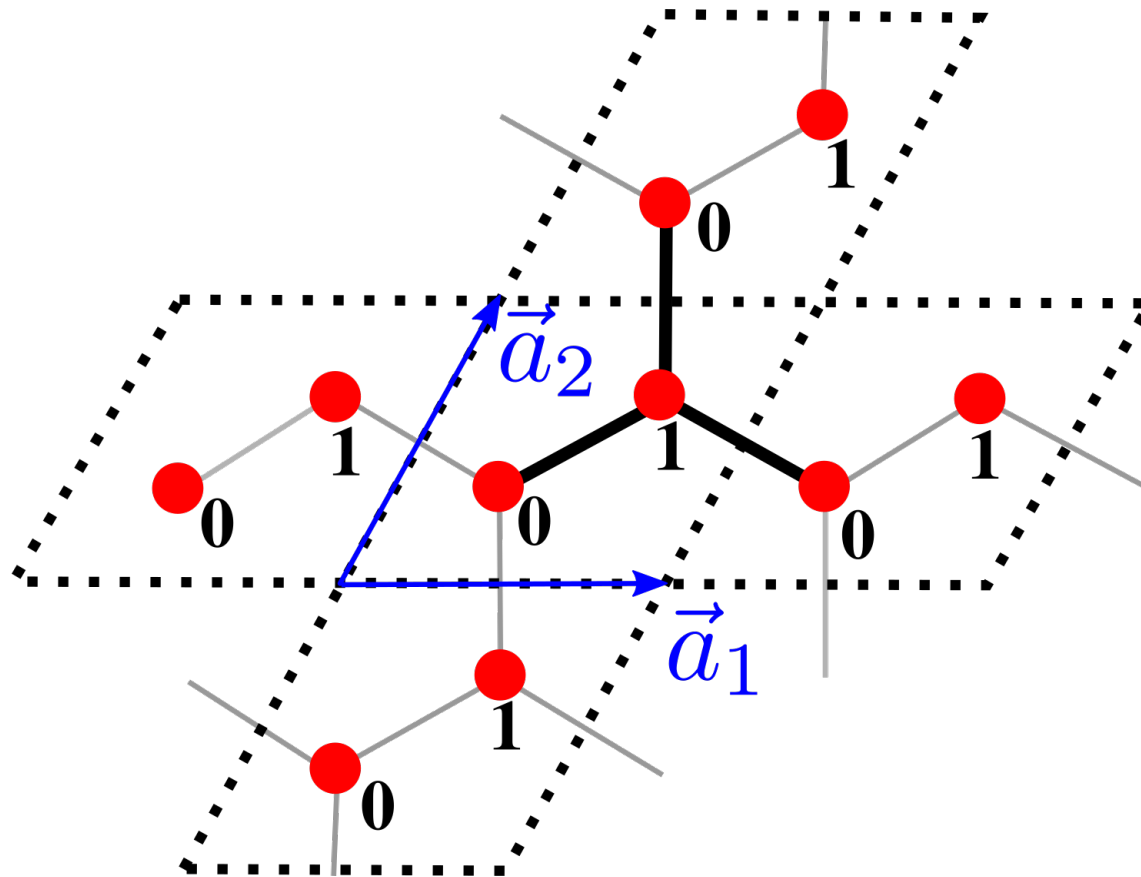


$$H(\vec{k}) = \begin{bmatrix} 0 & -t(1 + e^{-i\vec{k}\cdot\vec{a}_1} + e^{-i\vec{k}\cdot\vec{a}_2}) \\ -t(1 + e^{i\vec{k}\cdot\vec{a}_1} + e^{i\vec{k}\cdot\vec{a}_2}) & 0 \end{bmatrix}$$



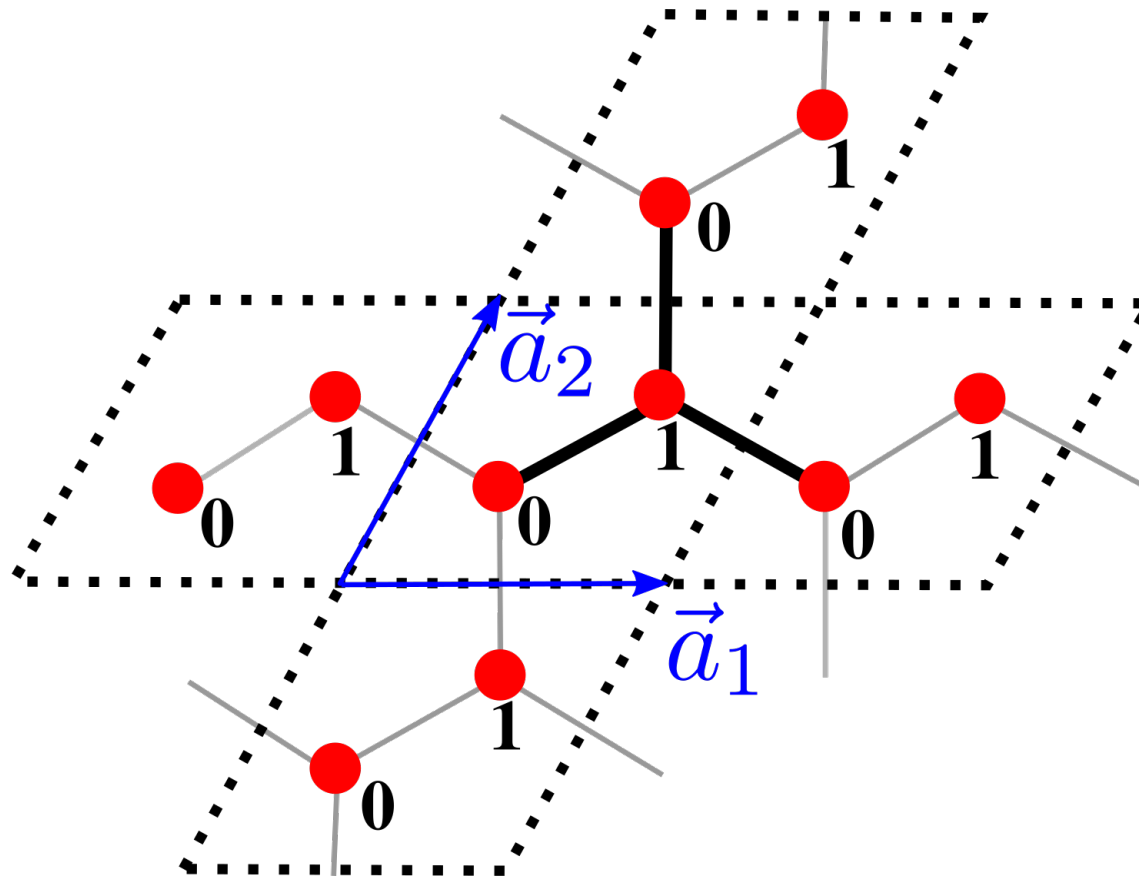
pythtb

Sinisa Coh (University of California at Riverside) and David Vanderbilt (Rutgers University)



pythtb

Sinisa Coh (University of California at Riverside) and David Vanderbilt (Rutgers University)



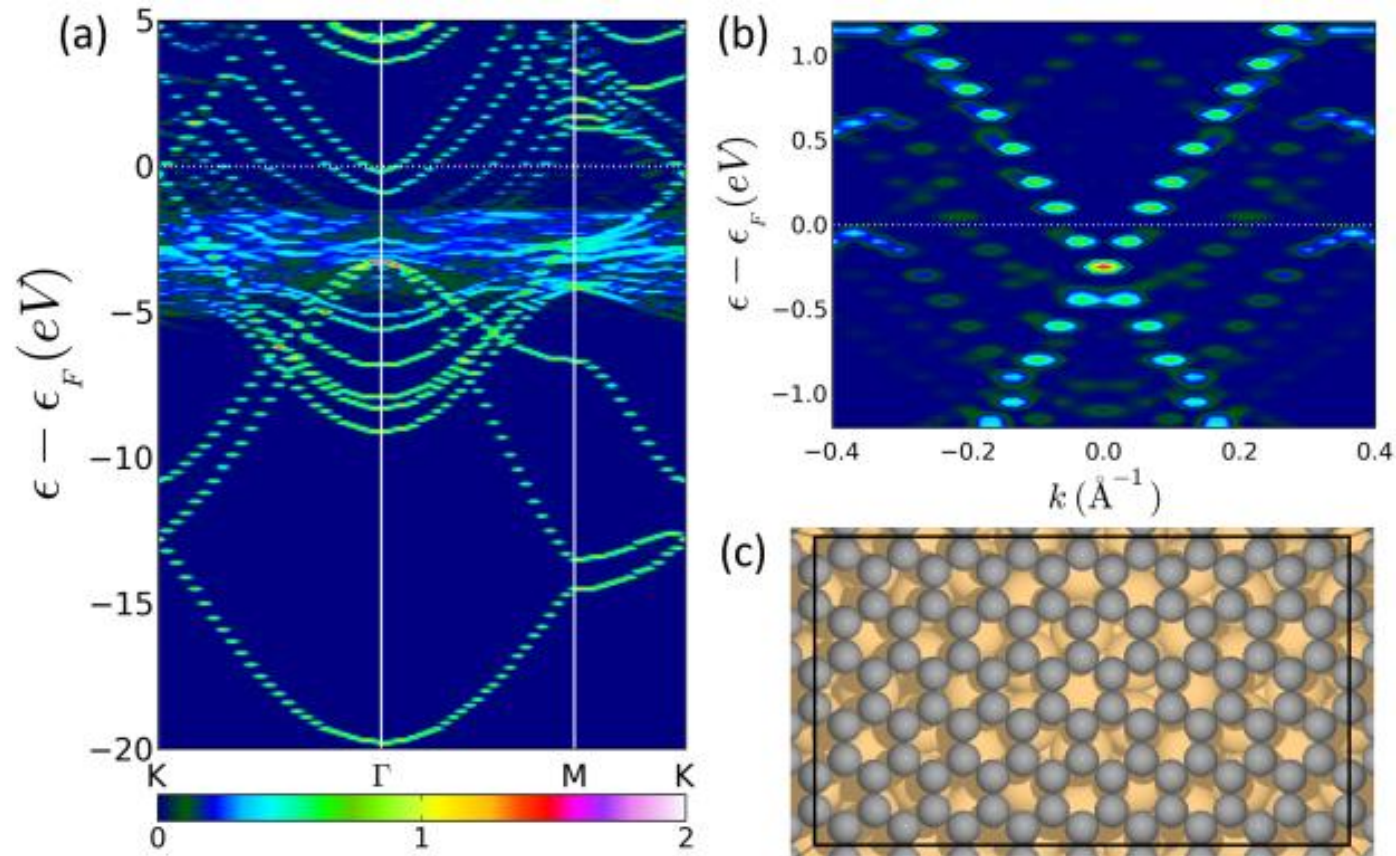
Estructura de bandas

Superceldas

Ribbons

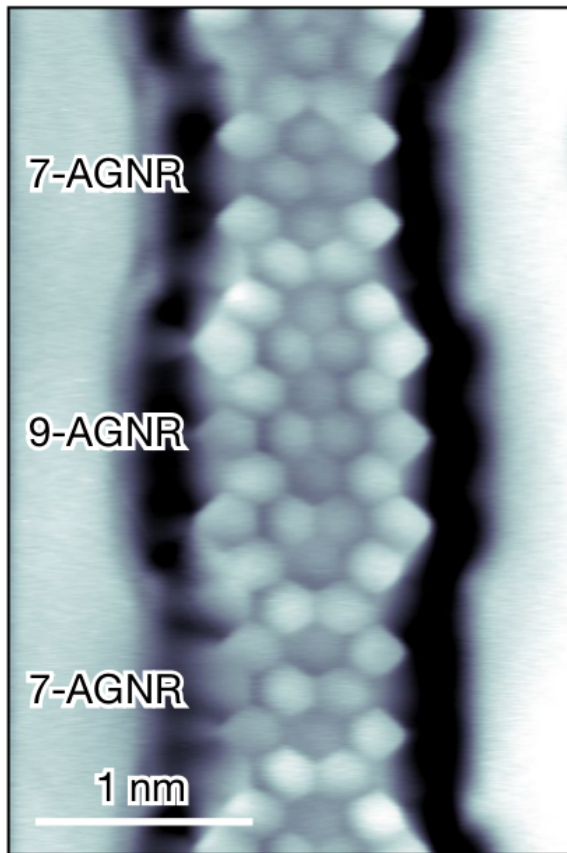
DOS

Unfold Brillouin zone (Graphene@Cu(111))

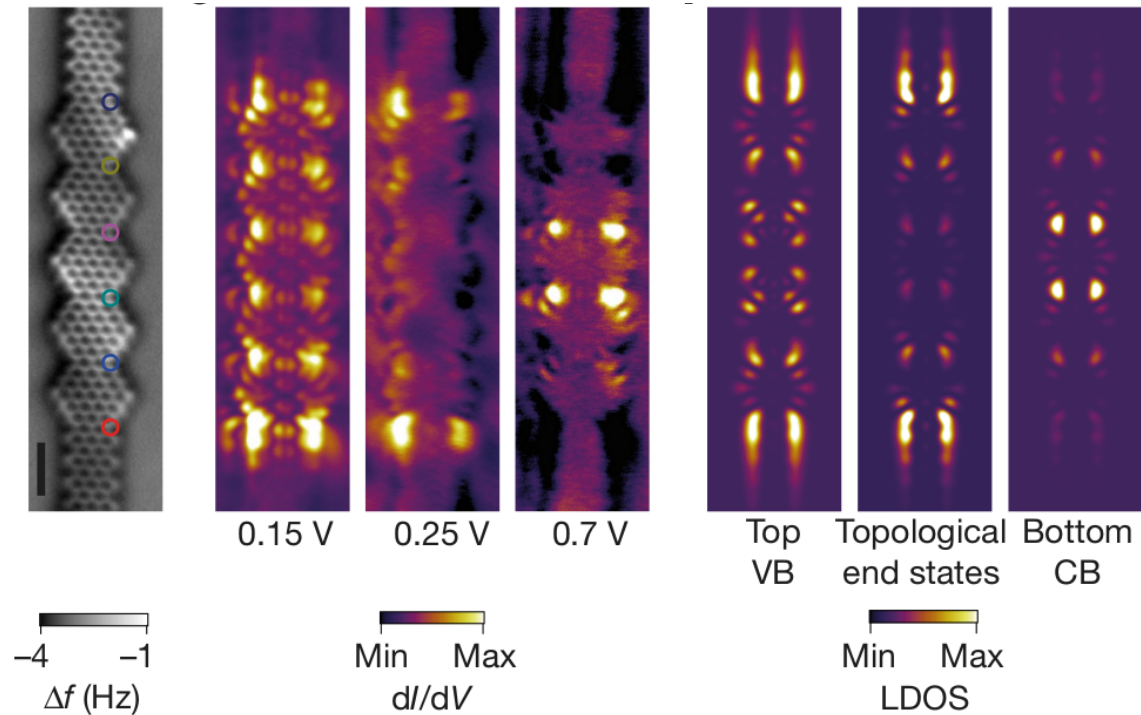


Nanoribbons

Topological band engineering of graphene nanoribbons
Nature **560**, 204-208 (2018)



Engineering of robust topological quantum phases
in graphene nanoribbons
Nature **560**, 209-213 (2018)

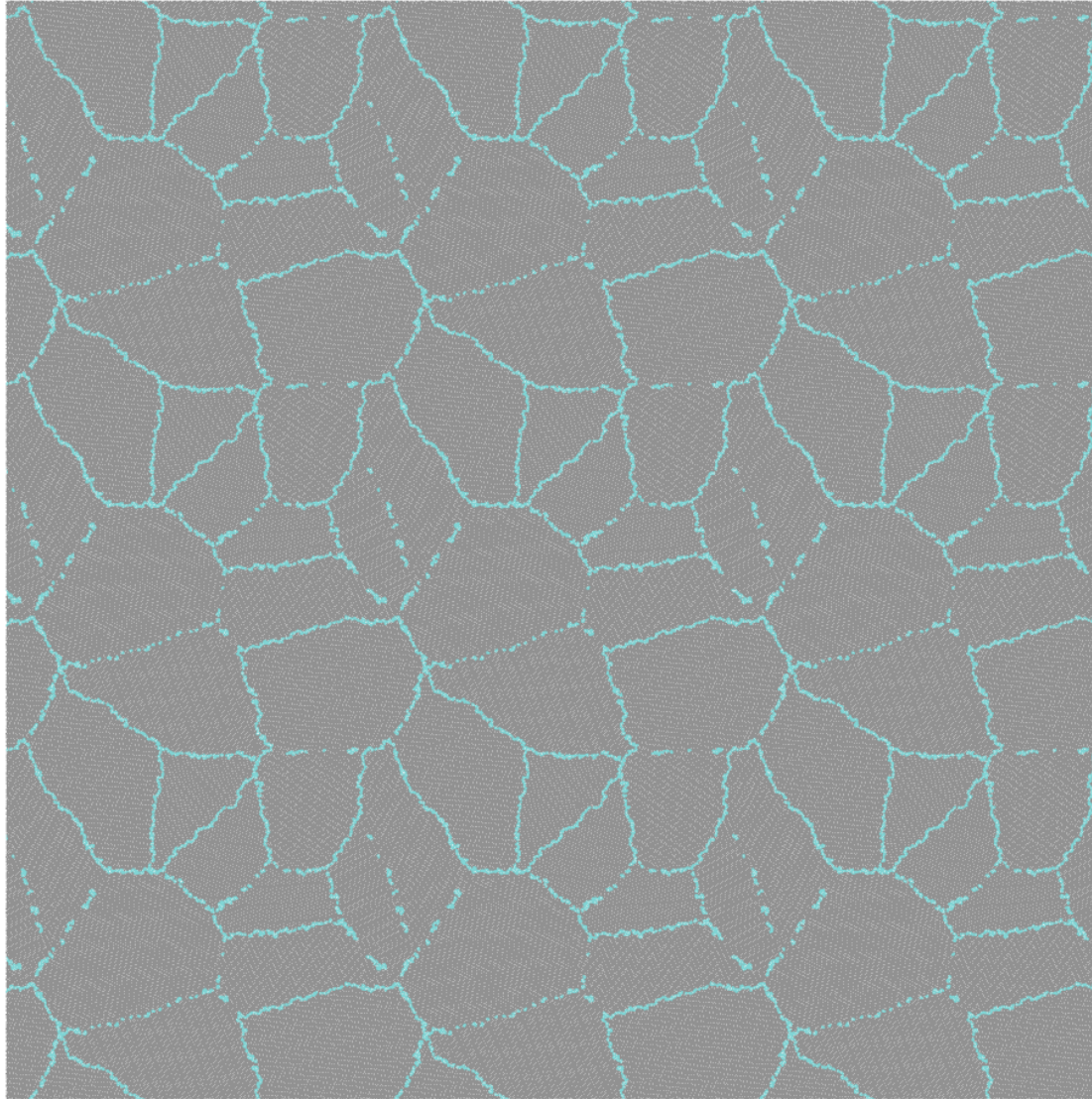


Operador evolución

[video]

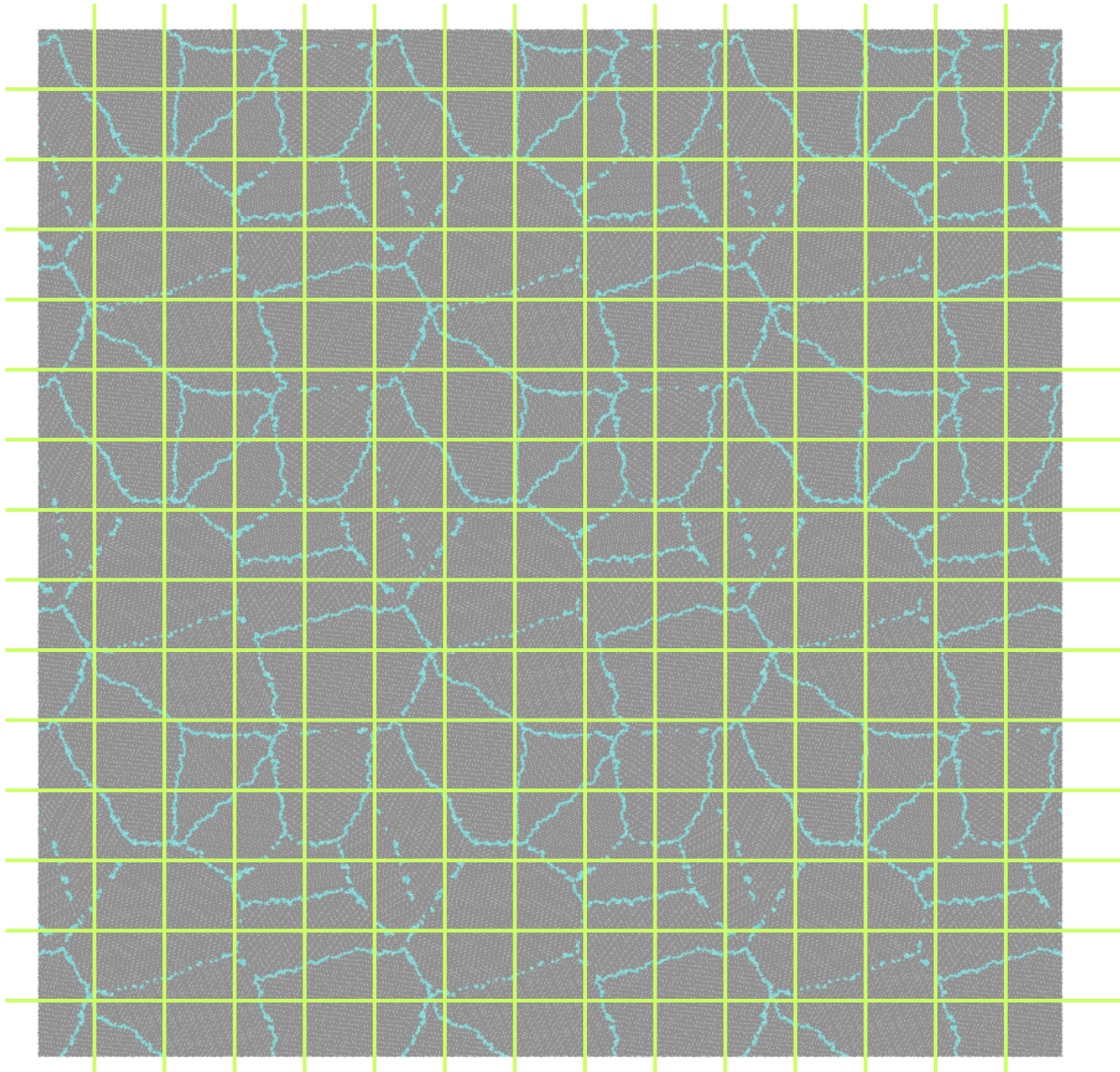
Construir el Hamiltoniano

Amarre fuerte (Tight-binding) \rightarrow Matriz de conectividad



Construir el Hamiltoniano

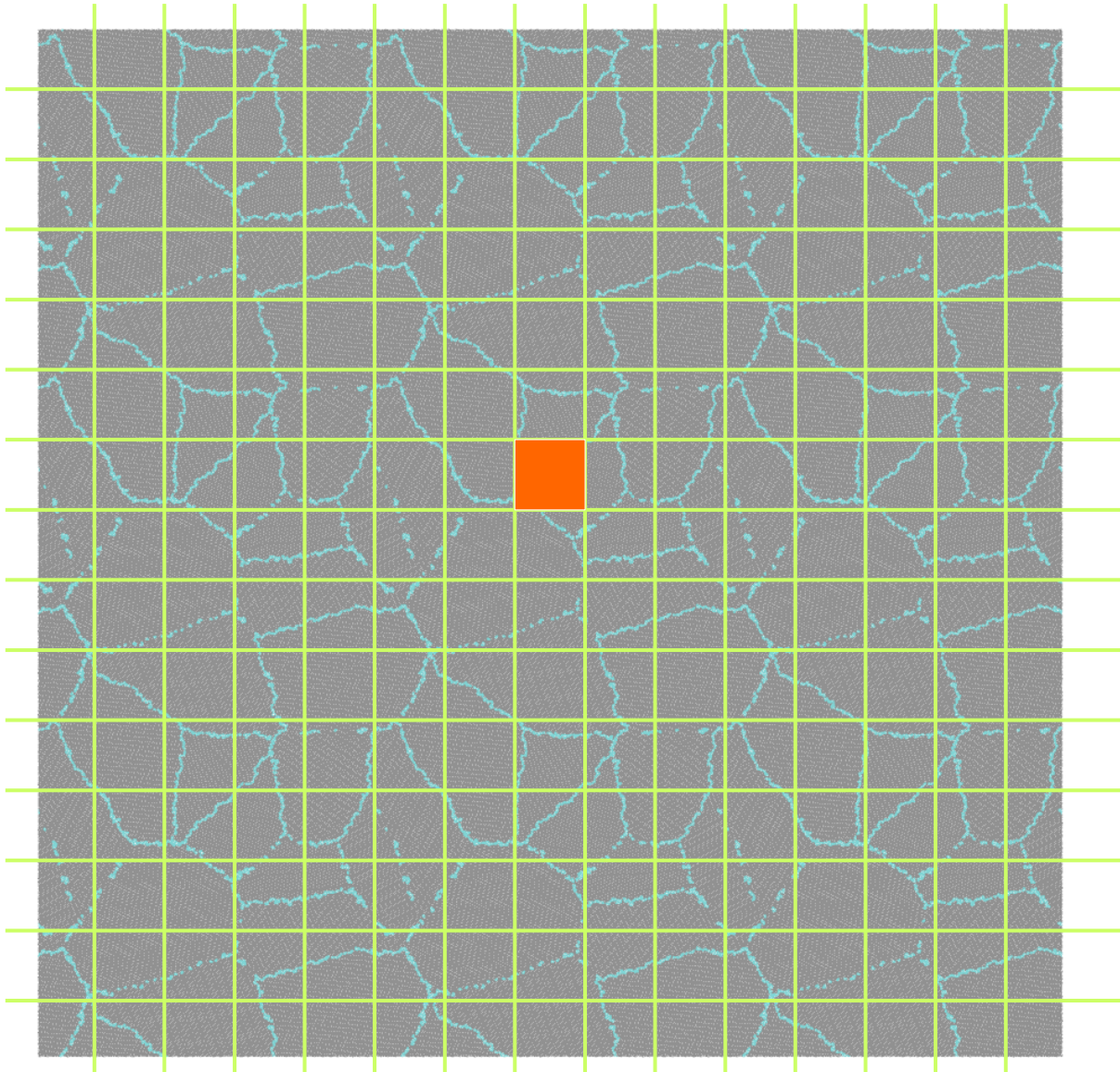
Amarre fuerte (Tight-binding) \rightarrow Matriz de conectividad



- Cells($i, j, \#$)

Construir el Hamiltoniano

Amarre fuerte (Tight-binding) → Matriz de conectividad

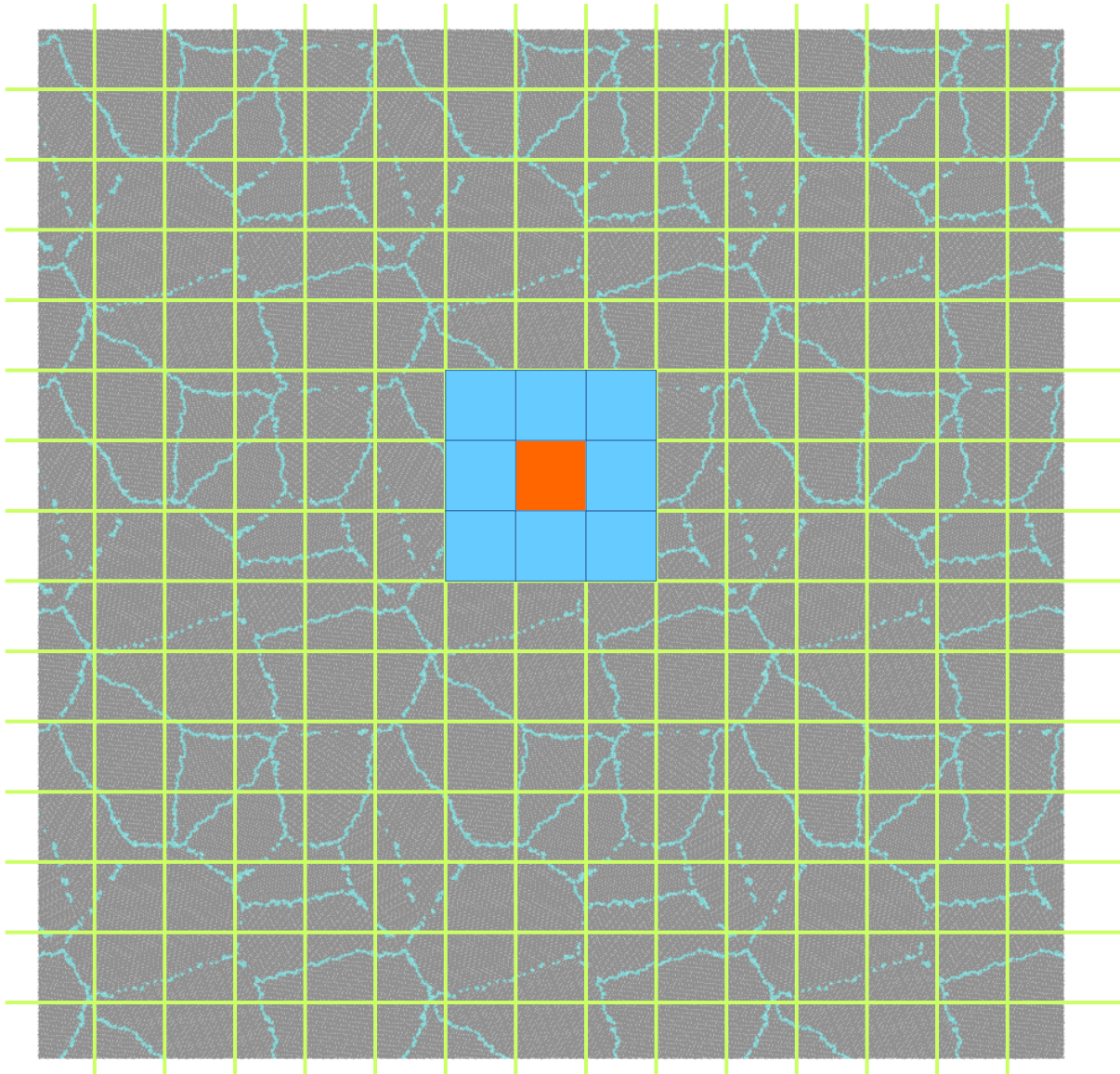


- Cells(i, j, #)

- Búsqueda de vecinos

Construir el Hamiltoniano

Amarre fuerte (Tight-binding) \rightarrow Matriz de conectividad



- Cells($i, j, \#$)

- Búsqueda de vecinos

- Cada búsqueda es independiente

Operador evolución (receta)

$$|\Psi(t)\rangle = e^{-i\mathcal{H}t/\hbar} |\Psi(0)\rangle$$
$$e^{-i\mathcal{H}t} = J_0(t) + 2 \sum_{m=1}^{\infty} (-i)^m J_m(t) T_m(\mathcal{H})$$

(1) Estado inicial

Operador evolución (receta)

$$|\Psi(t)\rangle = e^{-i\mathcal{H}t/\hbar} |\Psi(0)\rangle$$

$$e^{-i\mathcal{H}t} = J_0(t) + 2 \sum_{m=1}^{\infty} (-i)^m J_m(t) T_m(\mathcal{H})$$

(1) Estado inicial

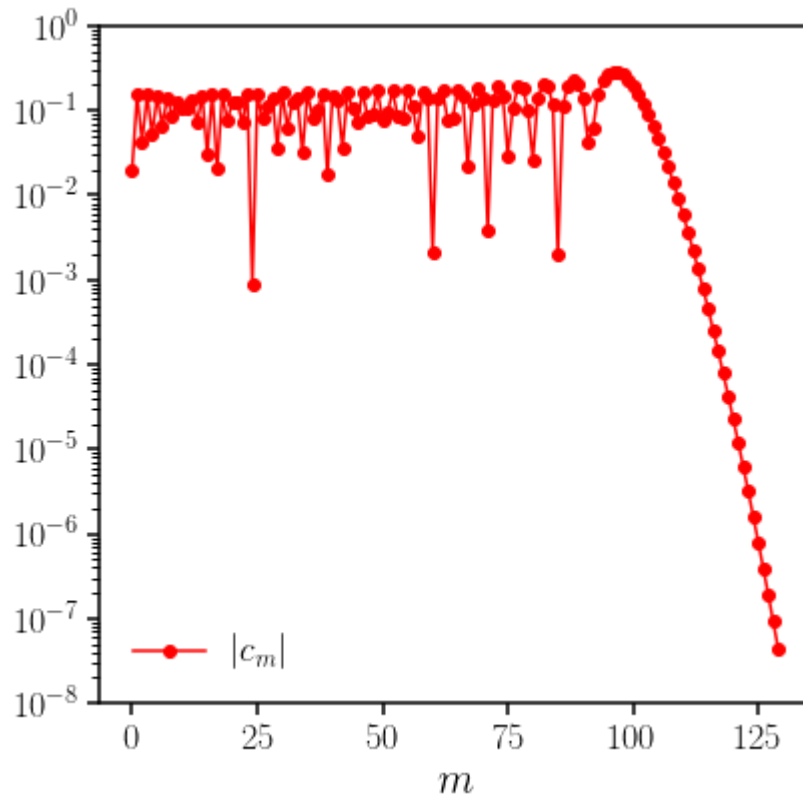
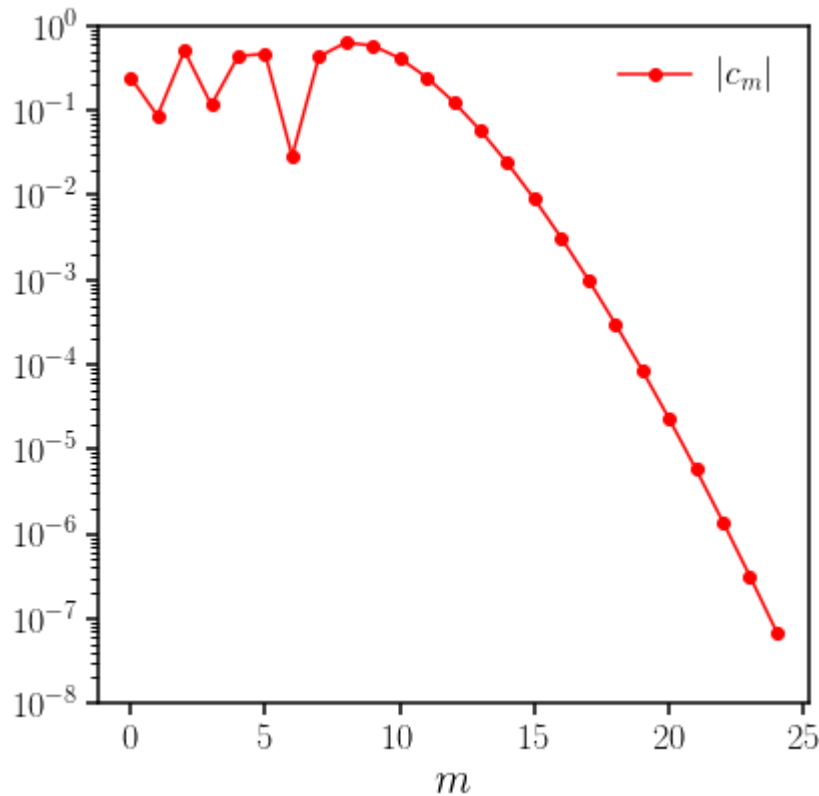
(2) Coeficientes \rightarrow funciones de Bessel

Operador evolución (receta)

$$|\Psi(t)\rangle = e^{-i\mathcal{H}t/\hbar} |\Psi(0)\rangle$$
$$e^{-i\mathcal{H}t} = J_0(t) + 2 \sum_{m=1}^{\infty} (-i)^m J_m(t) T_m(\mathcal{H})$$

(1) Estado inicial

(2) Coeficientes \rightarrow funciones de Bessel



Operador evolución (receta)

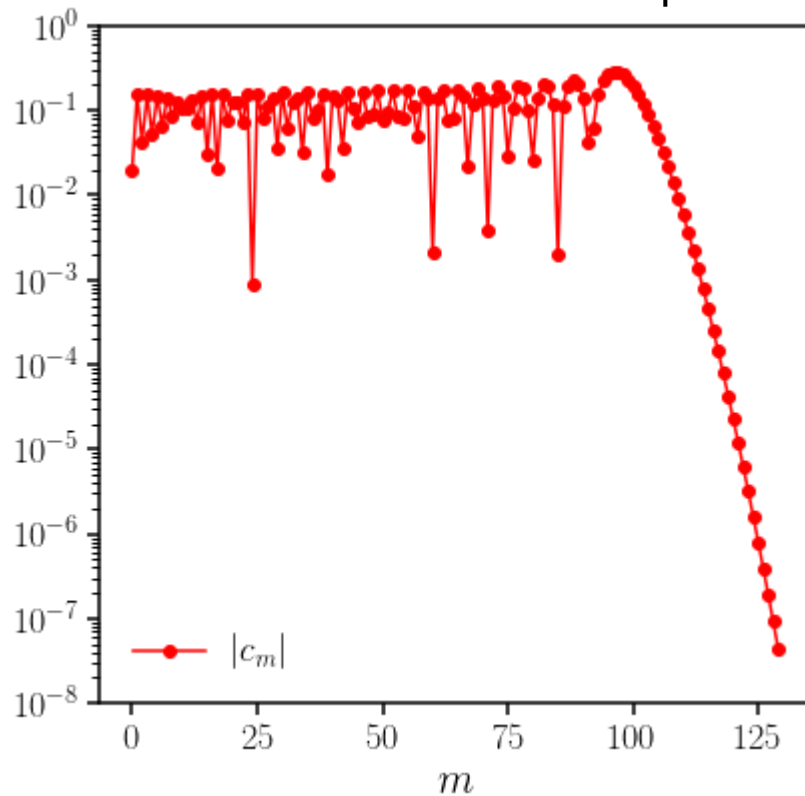
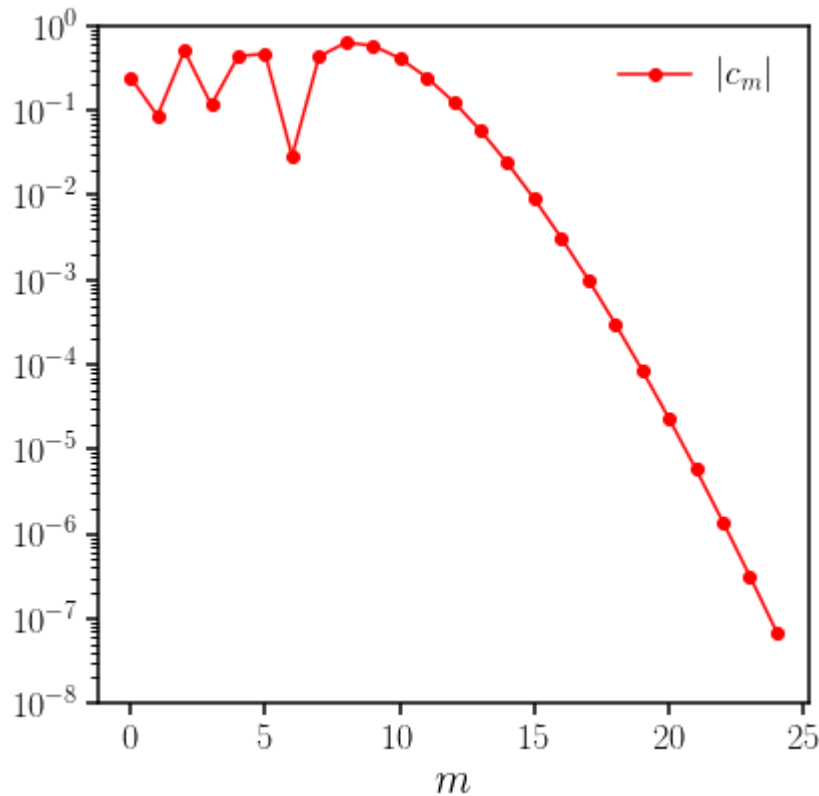
$$|\Psi(t)\rangle = e^{-i\mathcal{H}t/\hbar} |\Psi(0)\rangle$$
$$e^{-i\mathcal{H}t} = J_0(t) + 2 \sum_{m=1}^{\infty} (-i)^m J_m(t) T_m(\mathcal{H})$$

(1) Estado inicial

(2) Coeficientes \rightarrow funciones de Bessel

OBS:

Pasos de tiempo largos



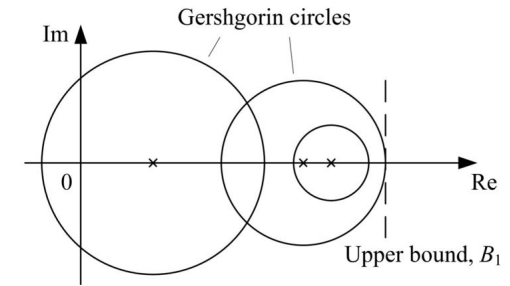
Operador evolución (receta)

$$|\Psi(t)\rangle = e^{-i\mathcal{H}t/\hbar} |\Psi(0)\rangle$$

$$e^{-i\mathcal{H}t} = J_0(t) + 2 \sum_{m=1}^{\infty} (-i)^m J_m(t) T_m(\mathcal{H})$$

OBS:

Teorema de Gershgoring

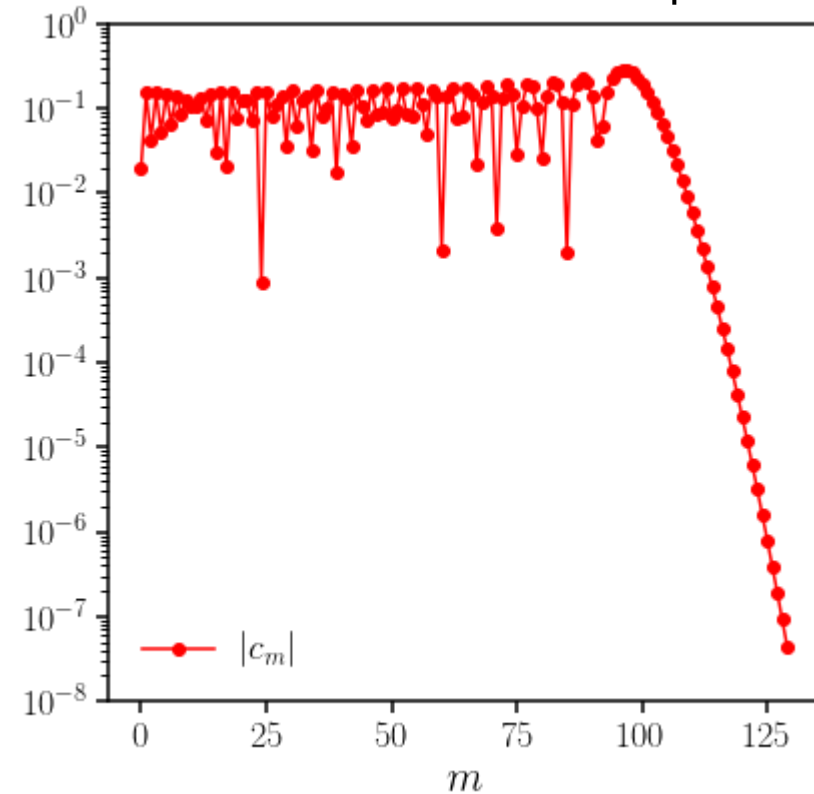
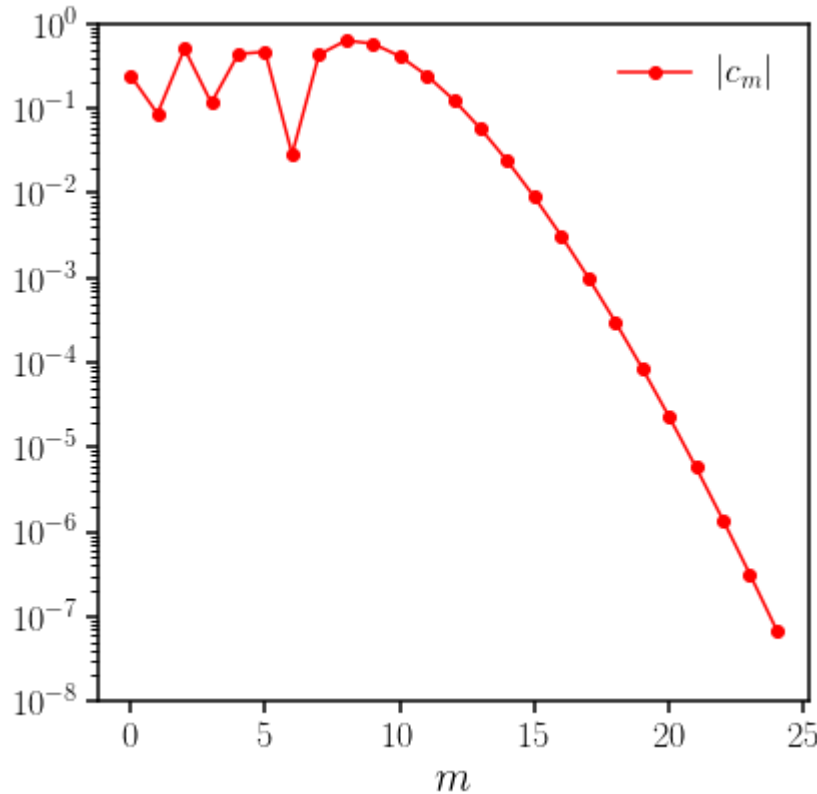


(1) Estado inicial

(2) Coeficientes \rightarrow funciones de Bessel

OBS:

Pasos de tiempo largos



Operador evolución (receta)

$$|\Psi(t)\rangle = e^{-i\mathcal{H}t/\hbar} |\Psi(0)\rangle$$
$$e^{-i\mathcal{H}t} = J_0(t) + 2 \sum_{m=1}^{\infty} (-i)^m J_m(t) T_m(\mathcal{H})$$

(3) Recursion \rightarrow Chebyshev polynomials

Operador evolución (receta)

$$|\Psi(t)\rangle = e^{-i\mathcal{H}t/\hbar} |\Psi(0)\rangle$$
$$e^{-i\mathcal{H}t} = J_0(t) + 2 \sum_{m=1}^{\infty} (-i)^m J_m(t) T_m(\mathcal{H})$$

(3) Recursion \rightarrow Chebyshev polynomials

$$T_0(H) = \mathcal{I}$$

$$T_1(H) = H$$

$$T_2(H) = 2H^2 - H$$

Operador evolución (receta)

$$|\Psi(t)\rangle = e^{-i\mathcal{H}t/\hbar} |\Psi(0)\rangle$$
$$e^{-i\mathcal{H}t} = J_0(t) + 2 \sum_{m=1}^{\infty} (-i)^m J_m(t) T_m(\mathcal{H})$$

(3) Recursion \rightarrow Chebyshev polynomials

$$T_0(H) = \mathcal{I}$$

$$T_1(H) = H$$

$$T_2(H) = 2H^2 - H$$



$$T_m(H) = 2HT_{m-1}(H) - T_{m-2}(H)$$

Operador evolución (receta)

$$|\Psi(t)\rangle = e^{-i\mathcal{H}t/\hbar} |\Psi(0)\rangle$$

$$e^{-i\mathcal{H}t} = J_0(t) + 2 \sum_{m=1}^{\infty} (-i)^m J_m(t) T_m(\mathcal{H})$$

(3) Recursion \rightarrow Chebyshev polynomials

$$|r_0\rangle = T_0(H) |\Psi_0\rangle = |\Psi_0\rangle$$

$$T_0(H) = \mathcal{I}$$

$$T_1(H) = H$$

$$T_m(H) = 2HT_{m-1}(H) - T_{m-2}(H)$$

Operador evolución (receta)

$$|\Psi(t)\rangle = e^{-i\mathcal{H}t/\hbar} |\Psi(0)\rangle$$

$$e^{-i\mathcal{H}t} = J_0(t) + 2 \sum_{m=1}^{\infty} (-i)^m J_m(t) T_m(\mathcal{H})$$

(3) Recursion \rightarrow Chebyshev polynomials

$$|r_0\rangle = T_0(H) |\Psi_0\rangle = |\Psi_0\rangle$$

$$|r_1\rangle = T_1(H) |r_0\rangle = H |r_0\rangle$$

$$T_0(H) = \mathcal{I}$$

$$T_1(H) = H$$

$$T_m(H) = 2HT_{m-1}(H) - T_{m-2}(H)$$

Operador evolución (receta)

$$|\Psi(t)\rangle = e^{-i\mathcal{H}t/\hbar} |\Psi(0)\rangle$$

$$e^{-i\mathcal{H}t} = J_0(t) + 2 \sum_{m=1}^{\infty} (-i)^m J_m(t) T_m(\mathcal{H})$$

(3) Recursion \rightarrow Chebyshev polynomials

$$T_0(H) = \mathcal{I}$$

$$T_1(H) = H$$

$$T_m(H) = 2HT_{m-1}(H) - T_{m-2}(H)$$

$$|r_0\rangle = T_0(H) |\Psi_0\rangle = |\Psi_0\rangle$$

$$|r_1\rangle = T_1(H) |r_0\rangle = H |r_0\rangle$$

$$|r_2\rangle = T_2(H) |r_0\rangle = 2HT_1(H) |r_0\rangle - T_0(H) |r_0\rangle$$

Operador evolución (receta)

$$|\Psi(t)\rangle = e^{-i\mathcal{H}t/\hbar} |\Psi(0)\rangle$$

$$e^{-i\mathcal{H}t} = J_0(t) + 2 \sum_{m=1}^{\infty} (-i)^m J_m(t) T_m(\mathcal{H})$$

(3) Recursion \rightarrow Chebyshev polynomials

$$T_0(H) = \mathcal{I}$$

$$T_1(H) = H$$

$$T_m(H) = 2HT_{m-1}(H) - T_{m-2}(H)$$

$$|r_0\rangle = T_0(H) |\Psi_0\rangle = |\Psi_0\rangle$$

$$|r_1\rangle = T_1(H) |r_0\rangle = H |r_0\rangle$$

$$|r_2\rangle = T_2(H) |r_0\rangle = 2HT_1(H) |r_0\rangle - T_0(H) |r_0\rangle$$

$$|r_2\rangle = 2H |r_1\rangle - |r_0\rangle$$

Operador evolución (receta)

$$|\Psi(t)\rangle = e^{-i\mathcal{H}t/\hbar} |\Psi(0)\rangle$$

$$e^{-i\mathcal{H}t} = J_0(t) + 2 \sum_{m=1}^{\infty} (-i)^m J_m(t) T_m(\mathcal{H})$$

(3) Recursion \rightarrow Chebyshev polynomials

$$T_0(H) = \mathcal{I}$$

$$T_1(H) = H$$

$$T_m(H) = 2HT_{m-1}(H) - T_{m-2}(H)$$

$$|r_0\rangle = T_0(H) |\Psi_0\rangle = |\Psi_0\rangle$$

$$|r_1\rangle = T_1(H) |r_0\rangle = H |r_0\rangle$$

$$|r_2\rangle = T_2(H) |r_0\rangle = 2HT_1(H) |r_0\rangle - T_0(H) |r_0\rangle$$

$$|r_2\rangle = 2H |r_1\rangle - |r_0\rangle$$



$$|r_n\rangle = 2H |r_{n-1}\rangle - |r_{n-2}\rangle$$



Funciones de Green (y DOS)

Funciones de Green (y DOS)

$$\text{DOS}(E) = -\frac{1}{\pi} \text{Im Tr} \{G(E)\}$$

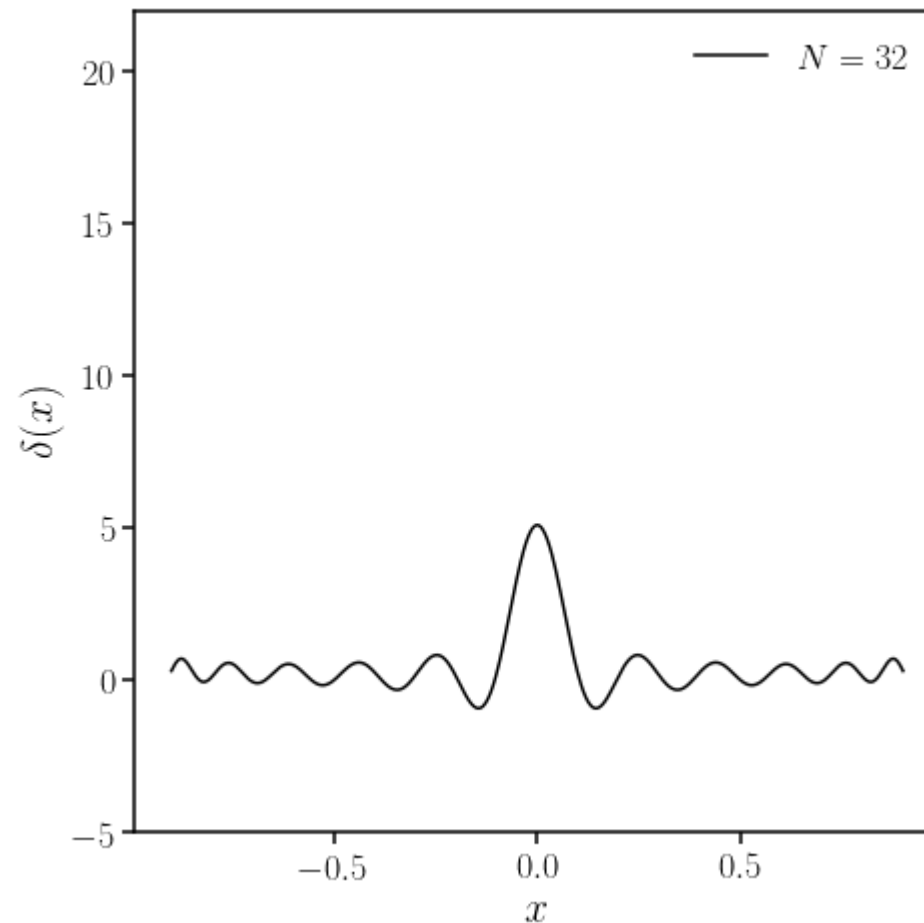
$$G(E) = \frac{1}{E + i\eta - \hat{H}} \xrightarrow{\eta \rightarrow 0} \delta(E - \hat{H})$$

Expansión en polinomios (Delta de Dirac)

$$f(x) \approx \frac{1}{\pi\sqrt{1-x^2}} \left(\mu_0 + 2 \sum_{n=1}^{N-1} \mu_n T_n(x) \right), \quad \mu_n = \int_{-1}^1 f(x) T_n(x) dx.$$

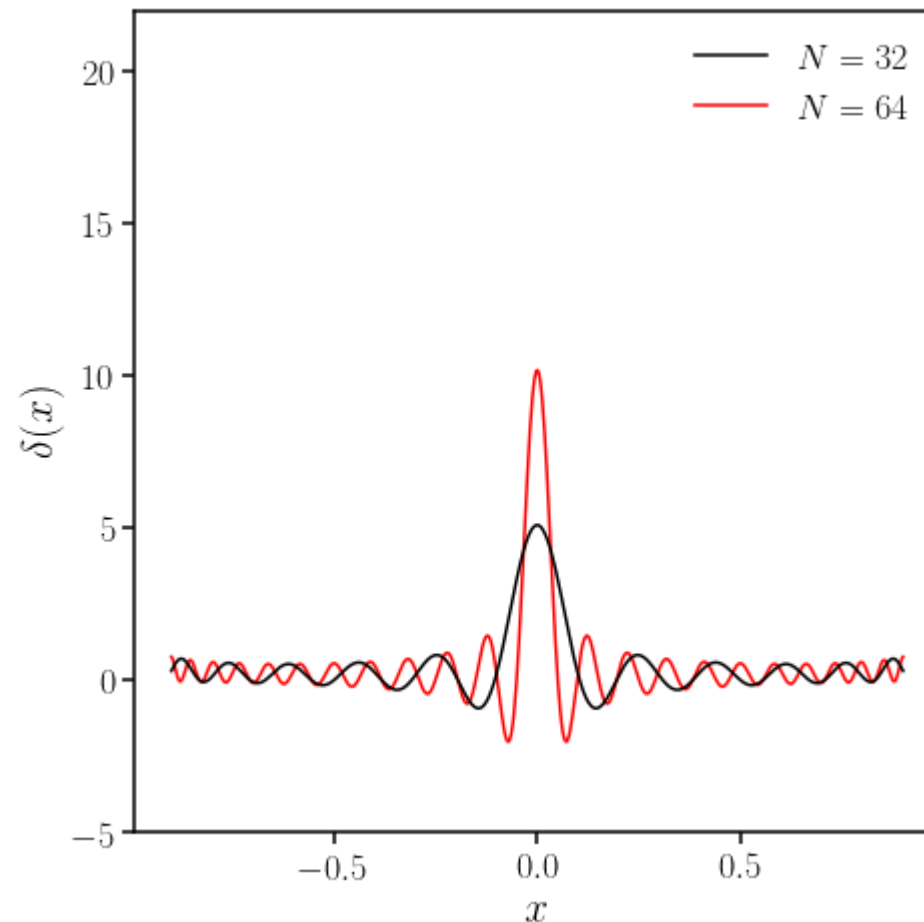
Expansión en polinomios (Delta de Dirac)

$$f(x) \approx \frac{1}{\pi\sqrt{1-x^2}} \left(\mu_0 + 2 \sum_{n=1}^{N-1} \mu_n T_n(x) \right), \quad \mu_n = \int_{-1}^1 f(x) T_n(x) dx.$$



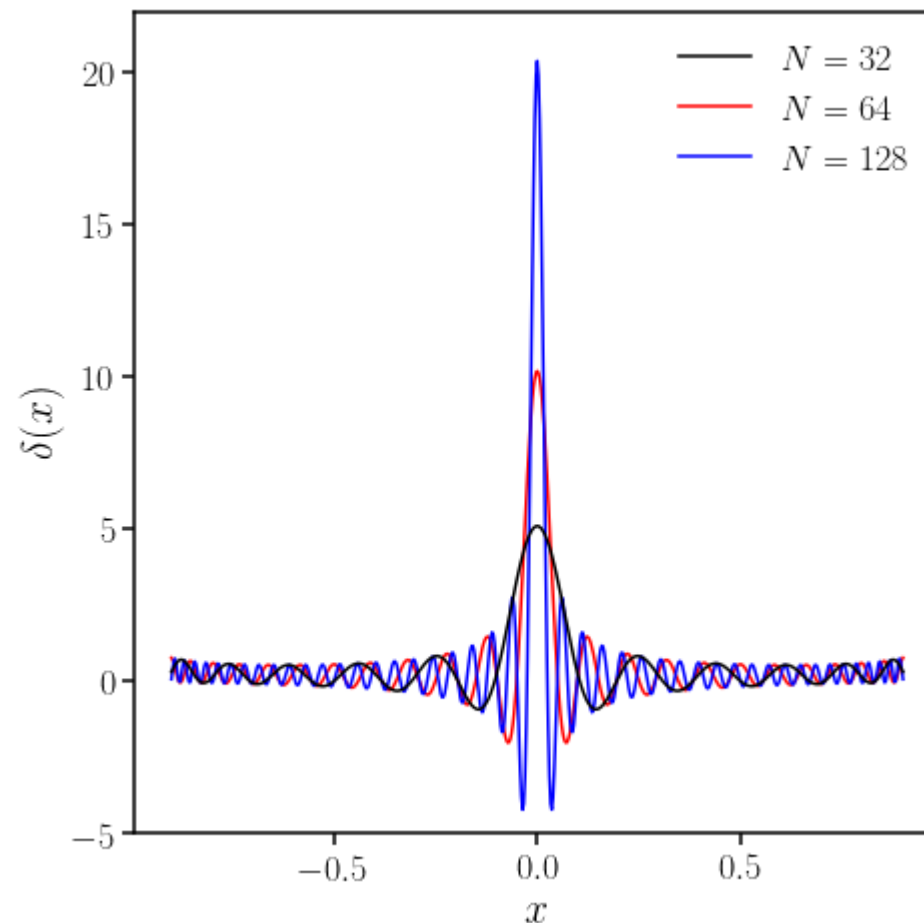
Expansión en polinomios (Delta de Dirac)

$$f(x) \approx \frac{1}{\pi\sqrt{1-x^2}} \left(\mu_0 + 2 \sum_{n=1}^{N-1} \mu_n T_n(x) \right), \quad \mu_n = \int_{-1}^1 f(x) T_n(x) dx.$$



Expansión en polinomios (Delta de Dirac)

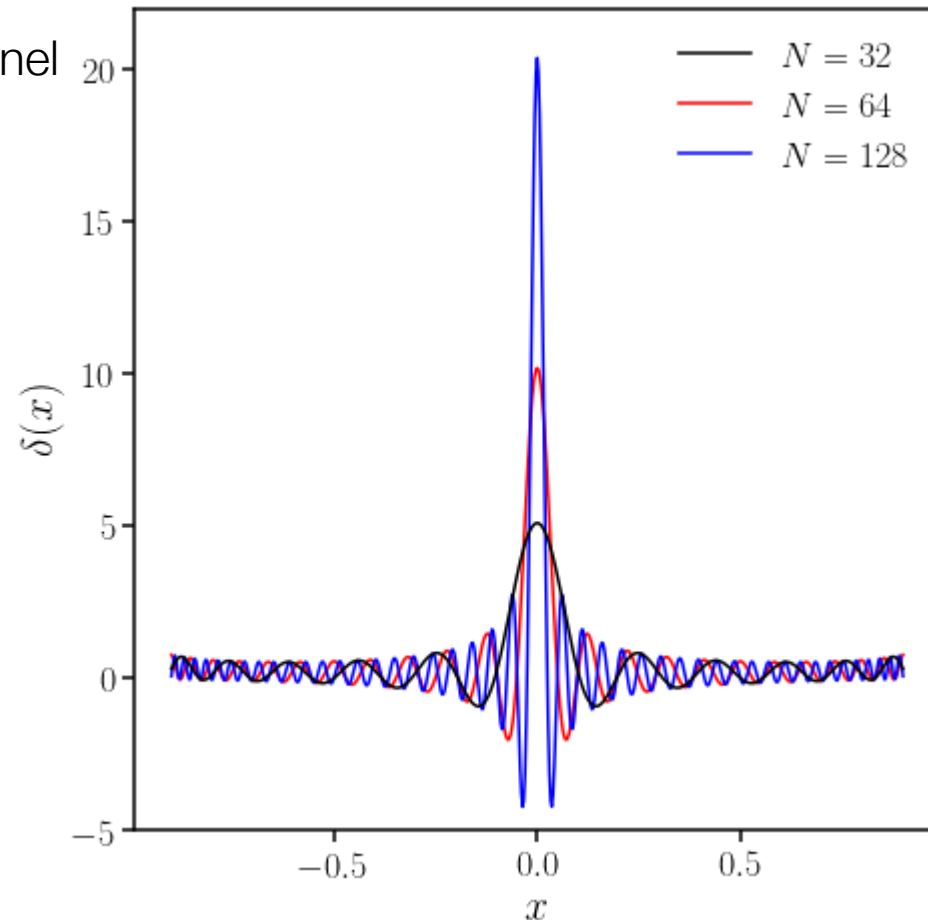
$$f(x) \approx \frac{1}{\pi\sqrt{1-x^2}} \left(\mu_0 + 2 \sum_{n=1}^{N-1} \mu_n T_n(x) \right), \quad \mu_n = \int_{-1}^1 f(x) T_n(x) dx.$$



Expansión en polinomios (Delta de Dirac)

$$f(x) \approx \frac{1}{\pi\sqrt{1-x^2}} \left(\mu_0 + 2 \sum_{n=1}^{N-1} \mu_n T_n(x) \right), \quad \mu_n = \int_{-1}^1 f(x) T_n(x) dx.$$

OBS: Serie finita \rightarrow Kernel



Expansión en polinomios

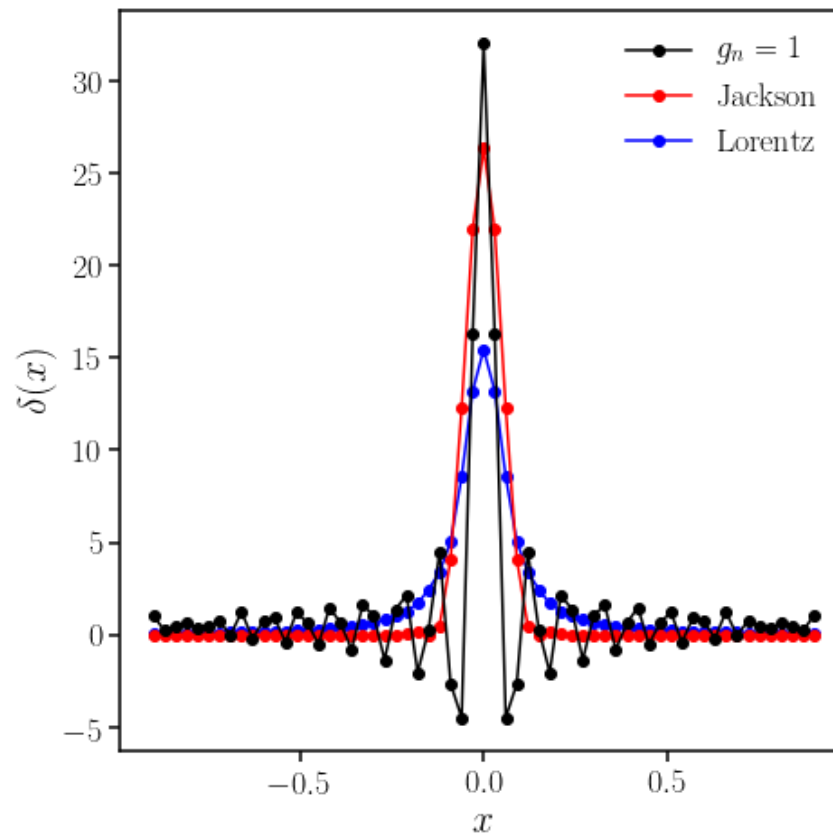
$$f(x_k) = \frac{1}{\pi\sqrt{1-x_k^2}} \left(g_0\mu_0 + 2 \sum_{n=1}^{N-1} g_n\mu_n T_n(x_k) \right). \quad \mu_n = \int_{-1}^1 f(x) T_n(x) dx.$$

OBS: Serie finita → Kernel

Name	g_n	Parameters	positive?	Remarks
Jackson	$\frac{1}{N+1} \left[(N-n+1) \cos \frac{\pi n}{N+1} + \sin \frac{\pi n}{N+1} \cot \frac{\pi}{N+1} \right]$	none	yes	best for most applications
Lorentz	$\sinh[\lambda(1-n/N)] / \sinh(\lambda)$	$\lambda \in \mathbb{R}$	yes	best for Green functions
Fejér	$1-n/N$	none	yes	mainly of academic interest
Lanczos	$\left(\frac{\sin(\pi n/N)}{\pi n/N} \right)^M$	$M \in \mathbb{N}$	no	$M=3$ closely matches the Jackson kernel, but not strictly positive (Lanczos, 1966)
Wang and Zunger	$\exp \left[- \left(\alpha \frac{n}{N} \right)^\beta \right]$	$\alpha, \beta \in \mathbb{R}$	no	found empirically, not optimal (Wang, 1994; Wang and Zunger, 1994)
Dirichlet	1	none	no	least favorable choice

Expansión en polinomios

$$f(x_k) = \frac{1}{\pi\sqrt{1-x_k^2}} \left(g_0\mu_0 + 2 \sum_{n=1}^{N-1} g_n\mu_n T_n(x_k) \right). \quad \mu_n = \int_{-1}^1 f(x) T_n(x) dx.$$



Density of States

$$\text{Tr}\{\delta(E - H)\} = \frac{1}{\pi\sqrt{1 - E^2}} \left[\mu_1^{\text{psi}} + 2 \sum_{n=2}^{\infty} \mu_n^{\text{psi}} T_n(E) \right]$$

Density of States

$$\text{Tr}\{\delta(E - H)\} = \frac{1}{\pi\sqrt{1 - E^2}} \left[\mu_1^{\text{psi}} + 2 \sum_{n=2}^{\infty} \mu_n^{\text{psi}} T_n(E) \right]$$

OBS: Stochastic evaluation

$$\mu_n^{\text{psi}} = \langle \psi_{\text{RP}} | T_n(\mathcal{H}) | \psi_{\text{RP}} \rangle \times g_n \quad |\psi_{\text{RP}}\rangle = \frac{1}{\sqrt{\text{Nsites}}} \sum_{J=1}^{\text{Nsites}} e^{i2\pi\theta_J} |J\rangle$$

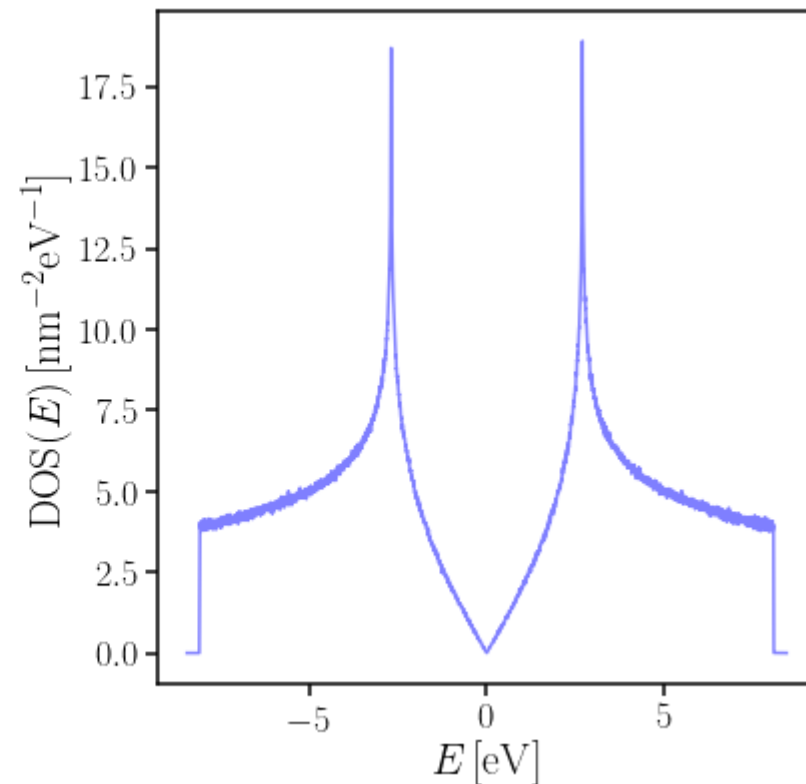
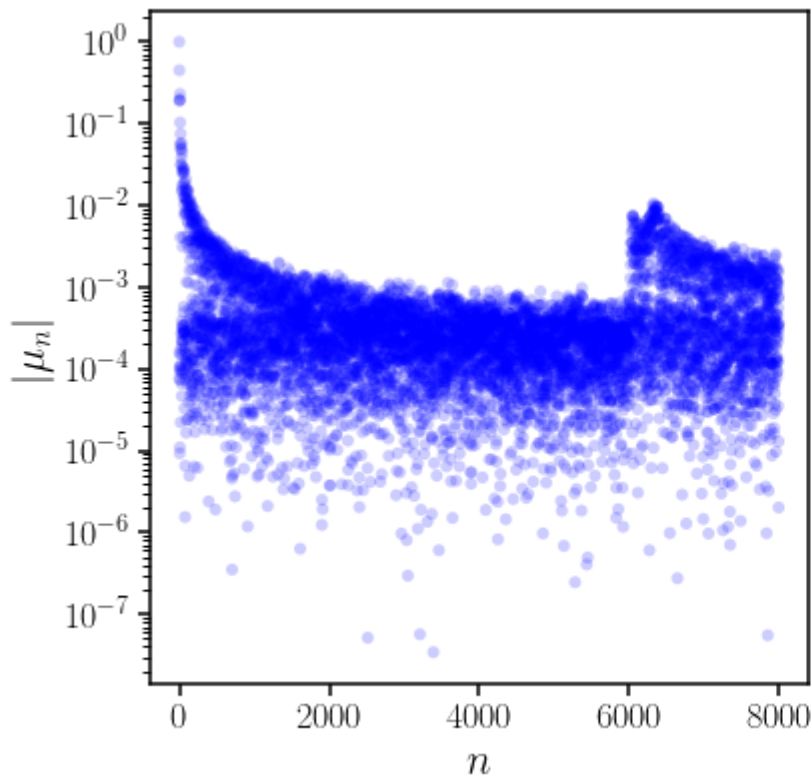
Density of States

$$\text{Tr}\{\delta(E - H)\} = \frac{1}{\pi\sqrt{1 - E^2}} \left[\mu_1^{\text{psi}} + 2 \sum_{n=2}^{\infty} \mu_n^{\text{psi}} T_n(E) \right]$$

OBS: Stochastic evaluation

$$\mu_n^{\text{psi}} = \langle \psi_{\text{RP}} | T_n(\mathcal{H}) | \psi_{\text{RP}} \rangle \times g_n$$

$$|\psi_{\text{RP}}\rangle = \frac{1}{\sqrt{N_{\text{sites}}}} \sum_{J=1}^{N_{\text{sites}}} e^{i2\pi\theta_J} |J\rangle$$



Ejemplo notebook - KPM

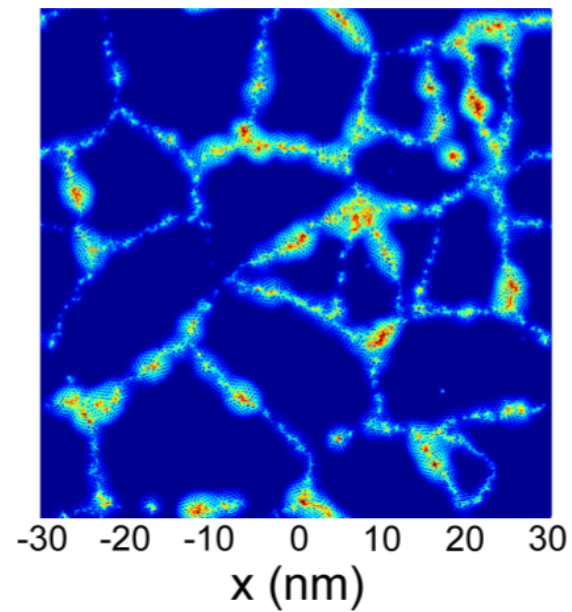
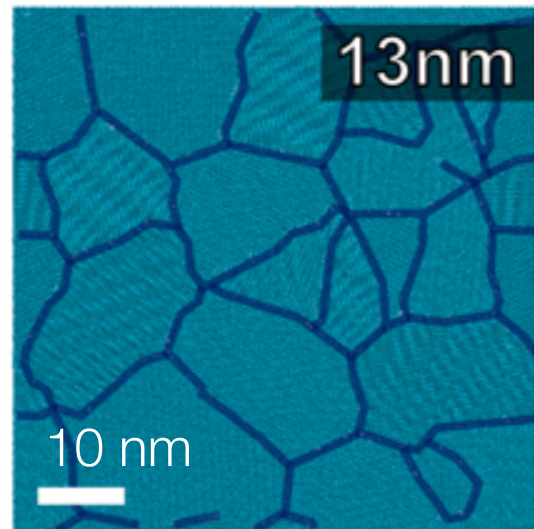
Resumen metodología - KPM

1 Red

2 Hamiltoniano

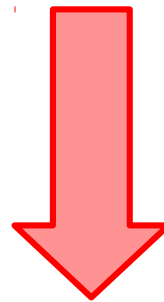
3 Transporte electrónico

$LDOS(E = 0)$



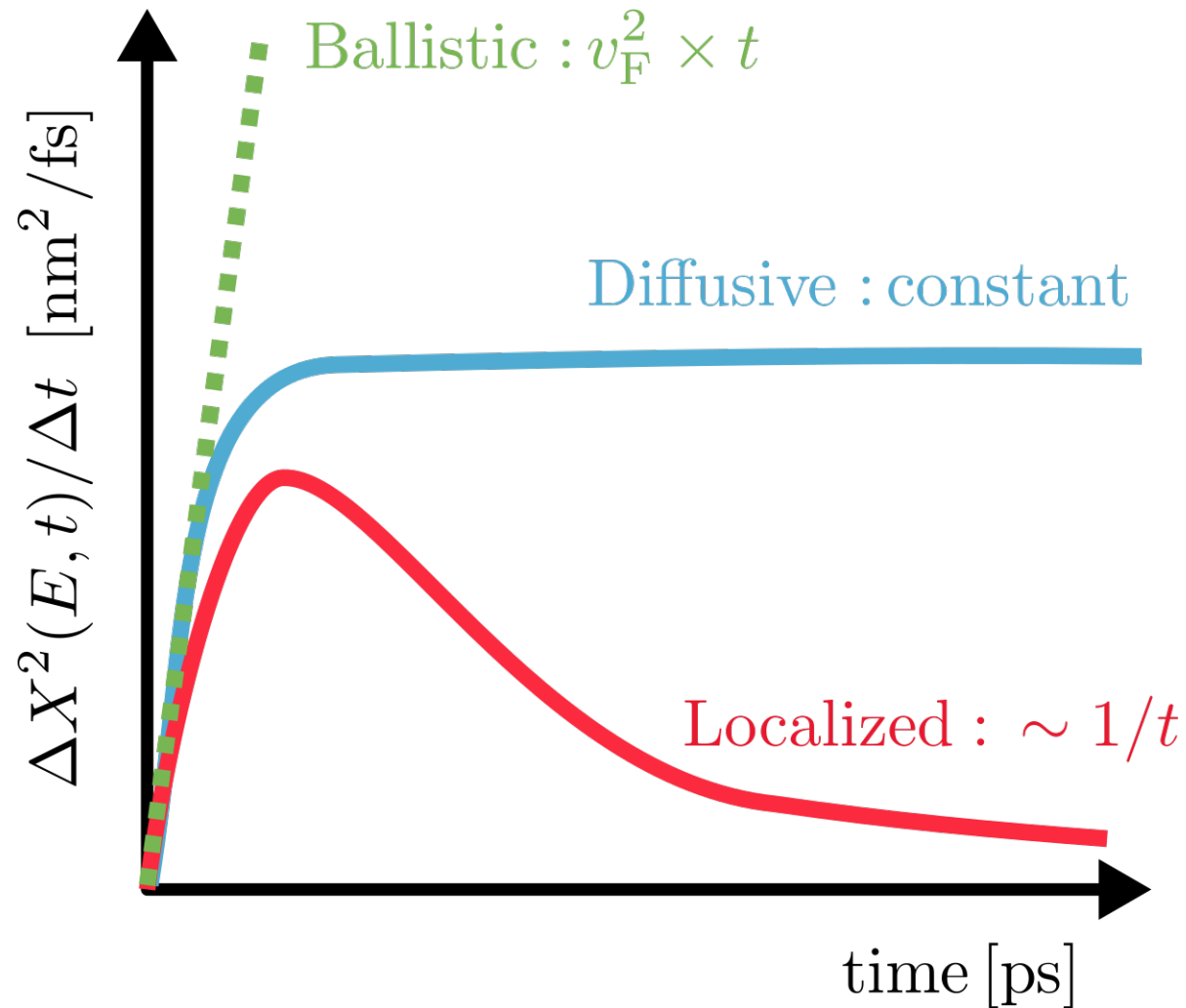
Respuesta lineal – Fórmula de Kubo

$$\sigma \propto \int dt \langle J(t), J(0) \rangle$$



$$\sigma(E) = \frac{e^2}{2} \left[\text{DOS}(E) \right] \lim_{t \rightarrow \infty} \frac{\partial}{\partial t} \left\langle \Delta X^2(t) \right\rangle_E$$

$$\sigma(E) = \frac{e^2}{2} \left[\text{DOS}(E) \right] \lim_{t \rightarrow \infty} \frac{\partial}{\partial t} \left\langle \Delta X^2(t) \right\rangle_E$$

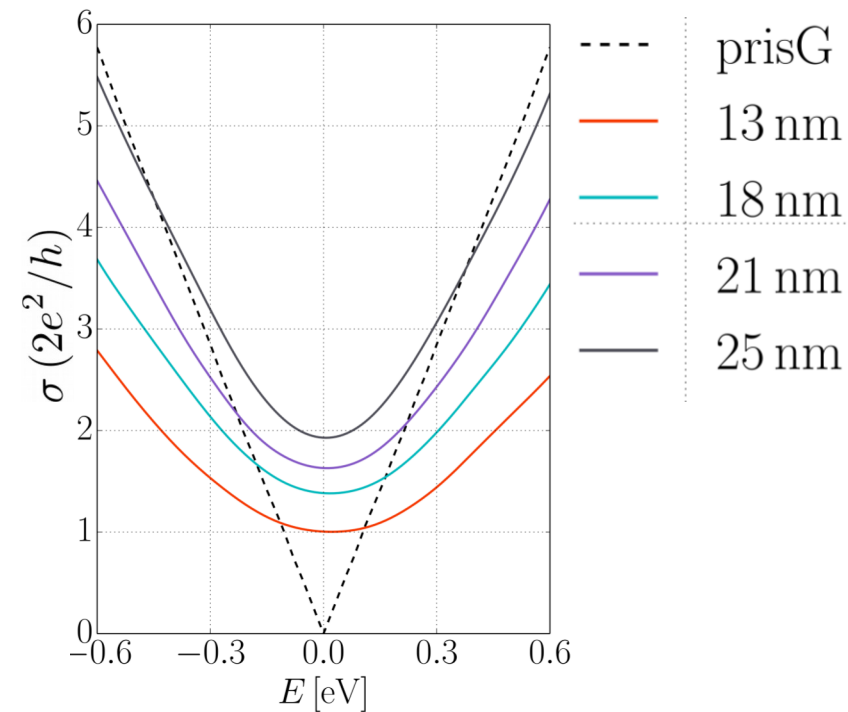
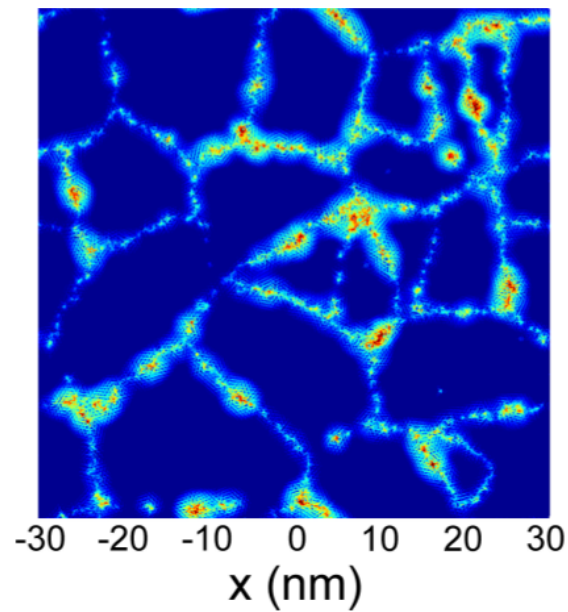
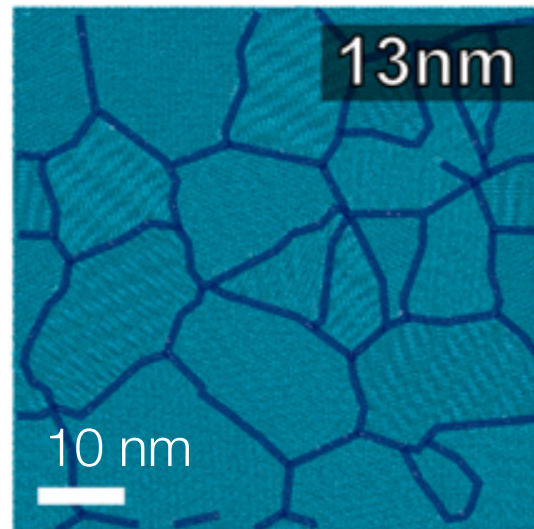


1 Red

2 Hamiltoniano

3 Transporte electrónico

LDOS($E = 0$)

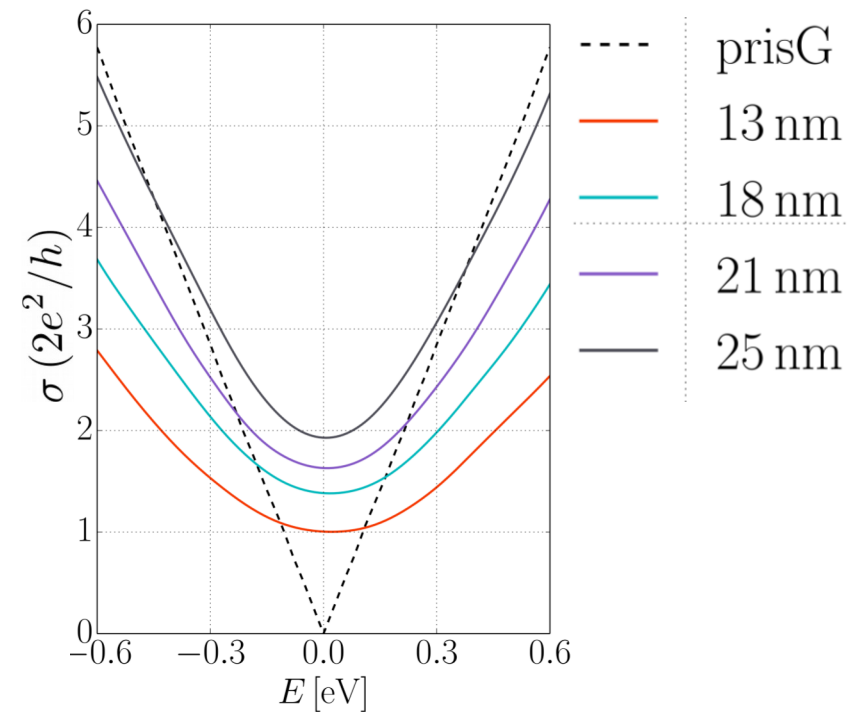
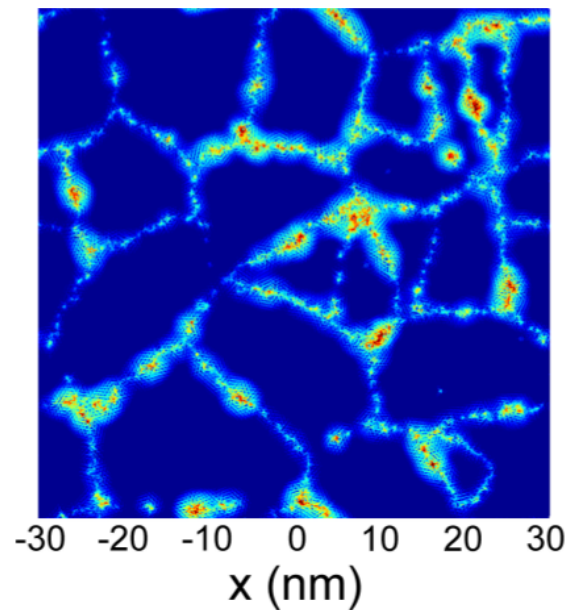
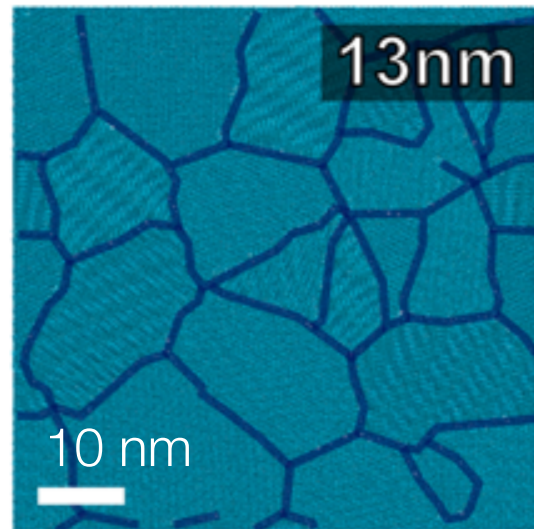


1 Red

2 Hamiltoniano

3 Transporte electrónico

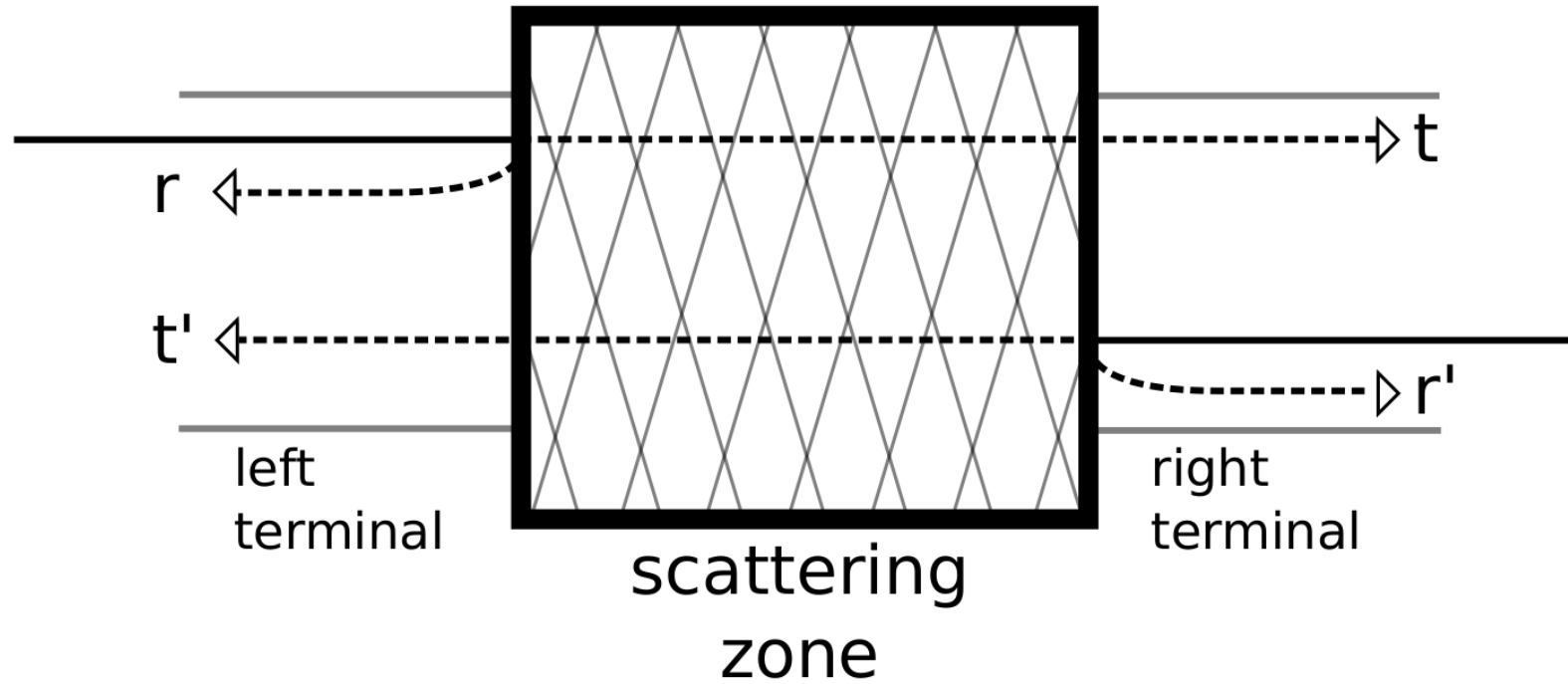
LDOS($E = 0$)



OBS: Implementación numérica de $O(N)$
(Kernel polynomial method)

kwant

kwant



$$\begin{pmatrix} c^{oL} \\ c^{oR} \end{pmatrix} = S \begin{pmatrix} c^{iL} \\ c^{iR} \end{pmatrix}, \quad S = \begin{pmatrix} r & t' \\ t & r' \end{pmatrix}$$

El *workflow* típico en Kwant es:

1. Crear un sistema de amarre fuerte “*empty*”.
2. Asignar los elementos de matriz y hoppings.
3. Unir los contactos (sistema de amarre fuerte con simetría traslacional).
4. Enviar el sistema finalizado al *solver*.

Fase de Peierls

$$t_{ij} = -t \exp \left(i \frac{2\pi}{\Phi_0} \int_{\vec{r}_i}^{\vec{r}_j} \vec{A} \cdot d\vec{\ell} \right)$$

Ribbon zig-zag 100 x 100 (unidades de red)
100 Teslas

